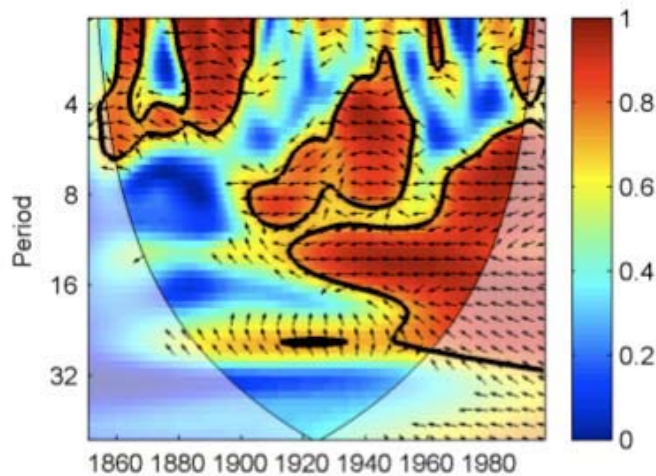


รูปที่ 3-11 (a) ข้อมูลอนุกรรมเวลาของดัชนีอุณหภูมิในมหาสมุทรแปซิฟิก (Nino3 SST Index) ที่สัมพันธ์กับปรากฏการณ์โอลนิโกล์ในช่วงศตวรรษที่ผ่านมา (b) ขนาดสเปกตรัม (Power Specturm) จากผลการแปลงเวฟเล็ตด้วยฟังก์ชันมอร์เล็ต (Morlet Wavelet) แสดงพฤติกรรมในรูปคากาเรเกิดขึ้นที่สำคัญ ที่สูงที่สุดในช่วง 40-60 ปี ที่มีความเชื่อมต่อสัมพันธ์ที่ระดับ 95% เปรียบเทียบกับความแปรปรวนสัมพันธ์ (Red-noise Process) (ที่มา Torrence and Compo, 1998)

นอกจากการวิเคราะห์พฤติกรรมอนุกรรมเวลาของตัวแปรหนึ่งๆแล้ว ยังสามารถใช้การแปลงครอสเวฟเล็ตเพื่อหาความสัมพันธ์ระหว่าง 2 ตัวแปรในรูปของความเชื่อมโยงและการเหลื่อมล้ำของการเกิดขึ้น เช่น การศึกษาของ Grinsted et.al. (2004) ได้ใช้ครอสเวฟเล็ตเพื่อหาความสัมพันธ์ระหว่างค่าดัชนี Arctic Oscillation (AO) กับค่าการขยายตัวสูงสุดของน้ำแข็งในทะเลบaltic (Baltic Maximum Sea-ice Extent Record, BMI) และแสดงความสัมพันธ์ดังรูปที่ 3-12 โดยแบบสีแสดงความสัมพันธ์ของสองตัวแปรจากขนาดของสเปกตรัม (Power Spectrum) และลูกศรแสดงการเหลื่อมล้ำในเวลาของตัวแปรทั้งสอง (Phase Angle) ความสัมพันธ์ตามรูปที่ 3-12 แสดงถึงความสัมพันธ์แบบผกผัน (180 องศา) ในสเปกตรัมที่มีนัยสำคัญ



รูปที่ 3-12 ความสัมพันธ์ระหว่างตัวแปรดัชนี Arctic Oscillation (AO) และการขยายตัวของน้ำแข็งในทะเลบaltic (Baltic Maximum Sea-ice Extent Record, BMI) ด้วยการแปลงครอสเวฟเล็ต โดยค่าความเข้มแสดงขนาดของความสัมพันธ์และลูกศรแสดงการเลื่อนลำของข้อมูล สังเกตว่าตัวแปรทั้งสองมีความสัมพันธ์ในทางตรงกันข้าม (anti-phase) สำหรับช่วงเวลาและค่าณที่ความสัมพันธ์มีนัยสำคัญ

ในงานวิจัยของ Paulin C (2006) ได้ทำการศึกษาการเปลี่ยนแปลงของฝนในเชิงพื้นที่และเวลาของประเทศไทยในช่วงปี ค.ศ. 1900-2000 ซึ่งได้ประยุกต์วิธีเวฟเล็ต (Wavelet) และครอสเวฟเล็ต (Cross-wavelet) ในการจำแนกความถี่ต่ำที่สำคัญ (low-frequency) โดยใช้ข้อมูลอนุกรมเวลาของน้ำฝนจากสถานีฝนทั่วทั้งประเทศไทย และใช้ดัชนีการเปลี่ยนแปลงสภาพภูมิอากาศ (Climatic indices) ได้แก่ North Atlantic Oscillation (NAO), Pacific-North American (PNA), Northern Hemisphere Annular Mode (NAM) และ El Nino/Southern Oscillation (ENSO) ซึ่งเป็นดัชนีสำคัญในการชี้วัดปรากฏการณ์เอลนิโญ (El Nino) และ拉尼ña (La Nina) โดยมีการหาความสัมพันธ์ระหว่างข้อมูลฝน และดัชนีการเปลี่ยนแปลงสภาพภูมิอากาศเหล่านี้ โดยแยกเป็นรายฤดูกาล ซึ่งทำให้มีความเข้าใจการเปลี่ยนแปลงเป็นฝนรายฤดูกาลจากผลของค่าดัชนีต่างๆ ในพื้นที่ศึกษา ข้อมูลความสัมพันธ์ต่างๆเหล่านี้นอกจากจะบอกรถติดรวมของความแปรปรวนต่างๆ และแนวโน้มการเปลี่ยนแปลงเนื่องจากการเปลี่ยนแปลงสภาพภูมิอากาศของโลกแล้ว ยังสามารถใช้เป็นฐานข้อมูลในการปรับปรุงการพยากรณ์ตัวแปรสภาพภูมิอากาศในอนาคตได้อีกด้วย

บทที่ 4

การเตรียมข้อมูลการเปลี่ยนแปลงสภาพภูมิอากาศของประเทศไทย

การเตรียมข้อมูลในการศึกษาครั้งนี้ประกอบด้วยข้อมูลเบื้องต้นต่าง ๆ ข้อมูลสมุทรศาสตร์ และ ข้อมูลการพยากรณ์สภาพภูมิอากาศโลกในอนาคตด้วยแบบจำลอง GCM และตัวชี้สมุทรศาสตร์ต่าง ๆ ได้แก่ตัวชี้ความผันแปรของระบบอากาศในชีกโลกใต้ (SOI) ค่าผิดสภาพอุณหภูมิผิวน้ำในทะเลในมหาสมุทรแปซิฟิก (Nino 1+2, Nino 3, Nino 4 และ Nino 3.4) และค่าผิดสภาพอุณหภูมิผิวน้ำในมหาสมุทรร้อนเดียว (DMI) รายละเอียดดังนี้

4.1 ข้อมูลที่เกี่ยวข้องเบื้องต้น

ในการเตรียมข้อมูลที่เกี่ยวข้องในการศึกษาในครั้งนี้ ได้จำแนกตามประเภทของข้อมูล ได้แก่ ข้อมูลอุตุนิยมวิทยา และอุทกวิทยา ข้อมูลภูมิอากาศ และสมุทรศาสตร์ที่เกี่ยวข้อง ข้อมูลโครงการพัฒนาแหล่งน้ำ และข้อมูลแผนที่และข้อมูลพื้นฐานทั่วไป ทั้งนี้เพื่อให้สะดวกต่อการเข้าถึงข้อมูล และเข้าใจลักษณะทางกายภาพของข้อมูล ทั้งในส่วนที่เป็นข้อมูลคงที่ (Static Data) ได้แก่ ข้อมูลสถานที่ตั้งสถานีวัดน้ำฝน และสถานีวัดน้ำท่า เป็นต้น และข้อมูลพลวัตร (Dynamic Data) ได้แก่ ข้อมูลประเภทอนุกรมเวลา ได้แก่ ข้อมูลอุณหภูมิรายวัน ข้อมูลฝนรายวันและรายเดือน และข้อมูลน้ำท่ารายวันและรายเดือน เป็นต้น คณวิจัยจึงได้คำนึงถึงองค์ประกอบที่สำคัญที่พึงจะมีเป็นอย่างน้อย ซึ่งมีรายละเอียดของข้อมูลดังนี้

1) ข้อมูลอุตุนิยมวิทยา และอุทกวิทยารายเดือนของประเทศไทย ประกอบด้วย

- 1.1) ข้อมูลภูมิอากาศ ประกอบด้วย ชื่อสถานี รหัสสถานี ที่ตั้ง จังหวัด ลุ่มน้ำหลัก พิกัด UTM ระหว่างแผนที่มาตราส่วน 1:50,000 ละติจูด ลองติจูด อุณหภูมิเฉลี่ยรายเดือน อุณหภูมิสูงสุดเฉลี่ยรายเดือน และอุณหภูมิต่ำสุดเฉลี่ยรายเดือน ในหน่วยองศาเซลเซียส ($^{\circ}\text{C}$) ตามแผนที่ในบทที่ 2 และรายละเอียดสถานีในภาคผนวก ค
- 1.2) ข้อมูลปริมาณฝนรายเดือน ประกอบด้วย ชื่อสถานี รหัสสถานี ที่ตั้ง จังหวัด ลุ่มน้ำหลัก พิกัด UTM ระหว่างแผนที่มาตราส่วน 1:50,000 ละติจูด ลองติจูด ปีเริ่มเก็บ

ข้อมูล ปีสุดท้ายของข้อมูล และปริมาณน้ำฝนสะสมรายเดือน ในหน่วยมิลลิเมตร (mm) ตามแผนที่ในบทที่ 2 และรายละเอียดสถานีในภาคผนวก ค

- 1.3) ข้อมูลปริมาณน้ำท่า ประกอบด้วย ชื่อสถานี รหัสสถานี พื้นที่รับน้ำฝน ที่ตั้ง จังหวัด ลุ่มน้ำหลัก พิกัด UTM ระหว่างแผนที่มาตราส่วน 1:50,000 ละติจูด ลองติจูด ปีเริ่มเก็บข้อมูล ปีสุดท้ายของข้อมูล และข้อมูลน้ำท่ารายเดือน ในหน่วย ลูกบาศก์เมตรต่อวินาที (m^3/s)

2) ข้อมูลดัชนีทางสมมุทรศาสตร์ต่างๆ ประกอบด้วย

- 2.1) ดัชนีความผันแปรของระบบอากาศในชีกโลกใต้ (SOI)
2.2) ค่าผิดสภาพอุณหภูมิผิวน้ำน้ำทะเลในมหาสมุทรแปซิฟิก (Nino 1+2, Nino 3, Nino 4 และ Nino 3.4) และ
2.3) ค่าผิดสภาพอุณหภูมิผิวน้ำน้ำทะเลในมหาสมุทรอินเดีย (DMI)
2.4) ข้อมูลปีที่เกิดโลนีโญ่และล้านีโญ่

3) ข้อมูลแบบจำลองภูมิอากาศโลก ประกอบด้วย ชุดข้อมูลตัวแปรภูมิอากาศอนุกรมเวล ของข้อมูลอุณหภูมิเฉลี่ย อุณหภูมิสูงสุด อุณหภูมิต่ำสุด และปริมาณฝน ของแบบจำลอง ต่างๆ ดังนี้

- 3.1) แบบจำลอง CGCM2 ของศูนย์ศึกษาสภาพอากาศแคนาดา ทั้งสมมติฐาน A2 และ B2
3.2) แบบจำลอง HadCM3 SRES ช่วงปี 1961–2099 ของอังกฤษ ทั้งสมมติฐาน A2 และ B2
3.3) แบบจำลองความลับอีกด้านของหน่วยงานคุณนิยมวิทยา ประเทศไทย ปะเทศญี่ปุ่น และ
3.4) ข้อมูล RCM จากแบบจำลอง PRECIS สมมติฐาน A2 ที่ศึกษาโดยศูนย์เครือข่าย งานวิเคราะห์วิจัยและฝึกอบรมการเปลี่ยนแปลงของโลกแห่งเอเชียตะวันออก เฉียงใต้ START ซึ่งใช้ข้อมูล GCM นำเข้าจากแบบจำลอง ECHAM4

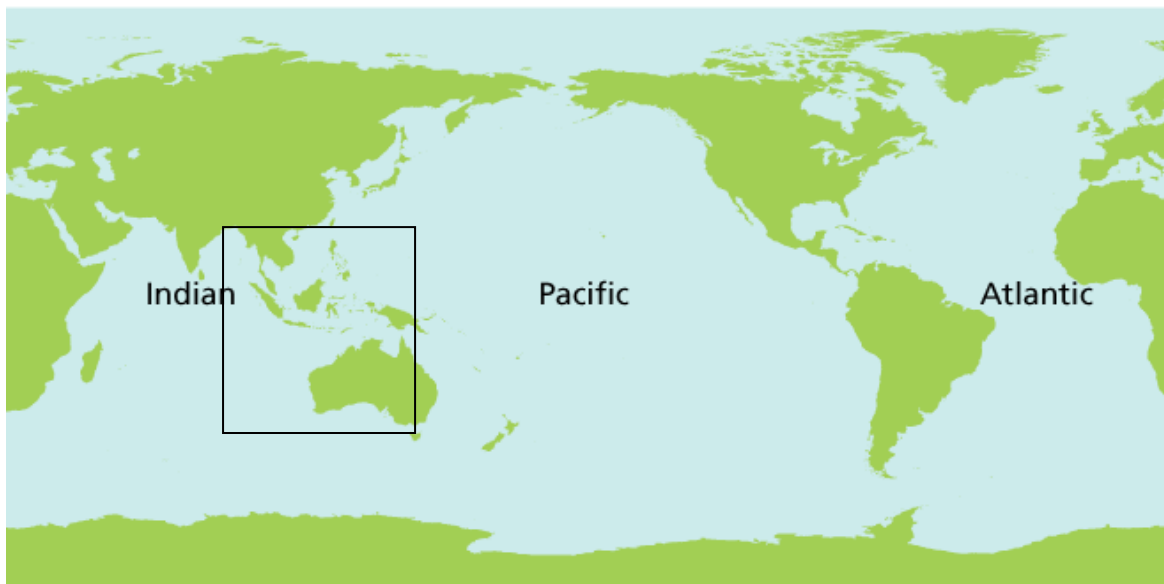
4) ข้อมูลแผนที่และข้อมูลพื้นฐานทั่วไป ประกอบด้วย

4.1) ข้อมูลขอบเขตพื้นที่ลุ่มน้ำประistanทั้ง 25 ลุ่มน้ำ ได้แก่ รหัสลุ่มน้ำ ชื่อลุ่มน้ำ และพื้นที่ลุ่มน้ำ

4.2) ข้อมูลขอบเขตการปักครองและข้อมูลพื้นฐานที่สำคัญ ได้แก่ รหัสและชื่อของจังหวัด อำเภอ ตำบล และพื้นที่ของตำบล

4.2 ดัชนีสมุทรศาสตร์ ดัชนีความผันแปรของระบบอากาศในชีกโลกใต้ (SOI) ค่าผิดสภาพอุณหภูมิผิวน้ำน้ำทะเลในมหาสมุทรแปซิฟิก (Nino 1+2, Nino 3, Nino 4 และ Nino 3.4) และค่าผิดสภาพอุณหภูมิผิวน้ำน้ำทะเลในมหาสมุทรอินเดีย (DMI)

ระบบของชั้นบรรยากาศและมหาสมุทร มีการผันแปรที่หลากหลายและมีรูปแบบเชื่อมโยงซึ่งกันและกัน การเปลี่ยนแปลงที่เกิดขึ้นในมหาสมุทรจะส่งผลให้เกิดการเปลี่ยนแปลงต่อชั้นบรรยากาศ ด้วย เช่นรูปแบบคลื่นความร้อนที่เคลื่อนปักลุมมหาสมุทร จะส่งผลกระทบต่อการหมุนเวียนของบรรยากาศ ซึ่งผลกระทบจากทั้งความหนาแน่นและการเคลื่อนที่ของสภาพอากาศก็จะเกิดกับมหาสมุทรด้วยเช่นกัน การเชื่อมโยงกันมีหลายรูปแบบ ซึ่งแตกต่างกันไปตามแต่ละภูมิภาค (U.S. Climate Change Science Program, 2008) ความผันแปรของอากาศในเขตเอเชียตะวันออก เอเชียใต้ เอเชียตะวันออกเฉียงใต้ เชื่อมโยงอยู่กับปรากฏการณ์ ENSO (El Niño-Southern Oscillation) เมื่ออุณหภูมิโลกร้อนขึ้น ลักษณะอากาศในมหาสมุทรแปซิฟิกมีแนวโน้มที่จะเกิดสภาพอากาศ มากขึ้น ทำให้เกิดการเพิ่มขึ้นของความถี่การเกิด ENSO และการเปลี่ยนแปลงวัฏจักรของฤดูกาล ซึ่งจะเห็นได้ว่าความผันแปรจากค่าเฉลี่ยอุณหภูมน้ำทะเลบริเวณศูนย์สูตรของมหาสมุทรแปซิฟิก ทำให้เกิดความแห้งแล้ง และอุทกภัยถี่ขึ้นระหว่างช่วงฤดูร้อนของประเทศไทยที่อยู่ทางตะวันออก ทางใต้ และทางตะวันออกเฉียงใต้ของทวีปเอเชีย จึงกล่าวได้ว่าในอนาคตเหตุการณ์ที่เกิดขึ้นแล้วนี้จะทวีความรุนแรงมากขึ้น (นิพนธ์ ตั้งธรรม, 2549) นอกจานี้ในภูมิภาคเอเชียตะวันออกเฉียงใต้นอกจากจะเชื่อมโยงกับมหาสมุทรแปซิฟิกแล้ว ยังมีความเชื่อมโยงกับมหาสมุทรอินเดียด้วยเช่นเดียวกัน ดังรูปที่ 4-1

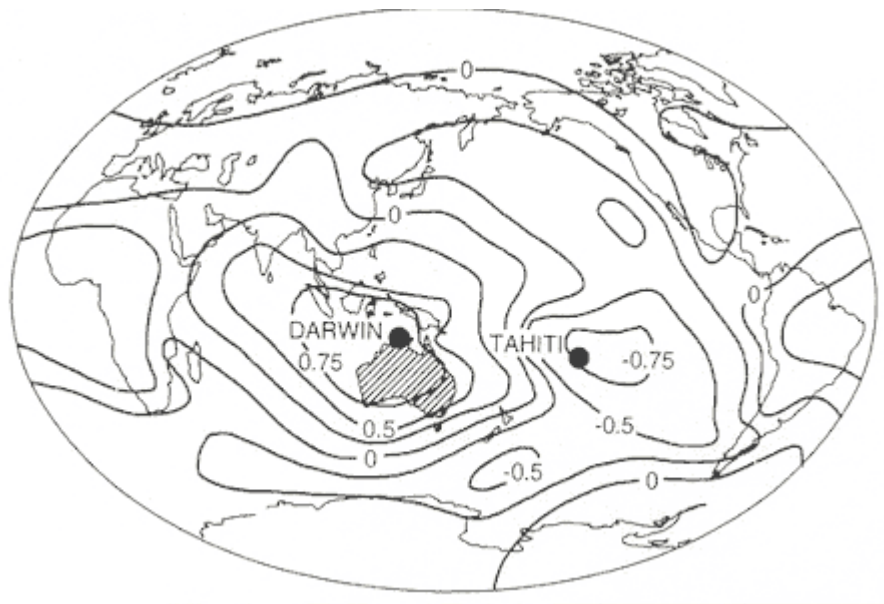


ที่มา: http://ioc3.unesco.org/oopc/state_of_the_ocean/atm/

รูปที่ 4-1 ตำแหน่งที่ตั้งภูมิภาคเอเชียตะวันออกเฉียงใต้ ซึ่งเชื่อมโยงกับมหาสมุทรแปซิฟิก และมหาสมุทรอินเดีย

ปรากฏการณ์ ENSO เป็นการรวมกันระหว่างปรากฏการณ์ *El Niño* (EN) และ *Southern Oscillation* (SO) ซึ่งมีความสัมพันธ์ซึ้งกันและกัน โดยปรากฏการณ์ *เอล Niño* (*El Niño*) เป็นการเปลี่ยนแปลงทิศทางการเคลื่อนที่ของกระแสน้ำอุ่นในมหาสมุทร ตามแนวชายฝั่งตะวันตกของทวีปอเมริกาใต้ ซึ่งเกิดจากความแตกต่างของความกดอากาศต่ำในบริเวณประเทศอินโดนีเซียและประเทศไทยมาเลเซียกับความกดอากาศสูงในบริเวณมหาสมุทรแปซิฟิกตอนใต้ เมื่อระดับความแตกต่างของความกดอากาศนี้ลดลง ลมสินค้าตะวันตกจะอ่อนกำลังลง เป็นเหตุให้ผิวน้ำทะเลที่อุ่นเคลื่อนตัวออกจากผิวน้ำ ประเทศเปรู จากสาเหตุนี้ ความกดอากาศต่ำจึงเคลื่อนตัวไปทางทิศตะวันออก เป็นผลให้ปริมาณฝนตกบริเวณอินโดนีเซียและประเทศไทยมาเลเซียลดลง แต่ไปเพิ่มปริมาณฝนตามแนวชายฝั่งตะวันตกของอเมริกากลางและทวีปอเมริกาใต้ ส่วนปรากฏการณ์ *Southern Oscillation* หรือความผันแปรของระบบอากาศในชีกโลกใต้ เป็นปรากฏการณ์ที่เกี่ยวกับความสัมพันธ์ส่วนกลับที่ต่อเนื่องกันระหว่างความกดอากาศที่ระดับผิวน้ำทะเลในมหาสมุทรแปซิฟิกใต้กับมหาสมุทรอินเดียและศูนย์สูตร โดยรวมถึงการผันแปรของความเข้มของลมที่มีอิทธิพลต่อการหมุนเวียนของชั้นบรรยากาศในเขตวันบริเวณอินโด-แปซิฟิก ซึ่งเกิดจากการแลกเปลี่ยน อากาศระหว่างความกดอากาศสูงกับเขตวันแบบศูนย์สูตรบริเวณอินโด-แปซิฟิกใต้ (South Pacific Subtropical High) ความกดอากาศต่ำแบบศูนย์สูตรบริเวณอินโดนีเซีย (Indonesian equatorial low) และความแตกต่างระหว่างความกดอากาศที่ระดับน้ำทะเล (Sea level pressure; SLP) ที่จุดต่างๆ ที่

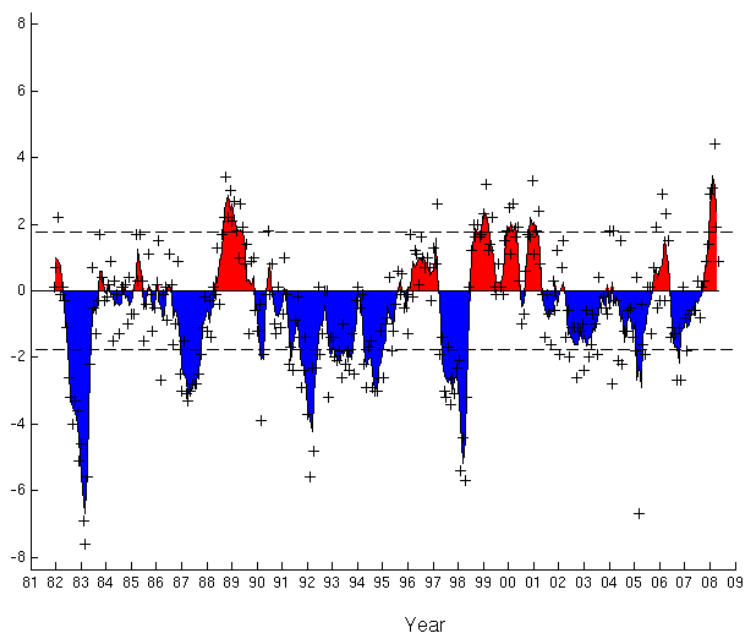
แผนความกดอากาศสูงกึ่งเขตร้อนແນບແປີຟິກໃຕ້ກັບຈຸດຕ່າງໆ ທີ່ແນນຄວາມກດອາກາສຕໍ່ແນບສູນຢູ່ສູງຕະບຣິເວນອິນໂດນີເຊີຍໄດ້ສູກໃຊ້ເປັນຄ່າດ້ານີຂອງການຜັນແປງຂອງຮະບບອາກາສໃນສຶກໂລກໃຕ້ (Southern Oscillation Indices, SOI) ເພື່ອເປັນຕົວແນບອກລຶ່ງການເກີດຂອງປະກຸງກາຮົນເອລົນໂລຢີໄດ້ຕ້ວໜຶ່ງ ໂດຍທີ່ຄ້າດ້ານີຂອງດ້ານີ SOI ຕໍ່າ (ມັກມີຄ່າດິດລົບ) ມັກຈະເກີດປະກຸງກາຮົນເອລົນໂລຢີ ທັນນີ້ມັກຈະໃຊ້ຄ່າ SLP ທີ່ຮະຫວ່າງທີ່ເກະຕາອີຕີ (Tahiti, Society Island) ບຣິເວນກລາງມາສຸມທຽບແປີຟິກ ແລະ SLP ທີ່ເມື່ອງດາຈິວິນ (Darwin) ປະເທດອອສເຕຣເລີຍ ດັ່ງຮູບທີ່ 4-2 ແນະນະບົດຄວາມກດອາກາສທັງສອງຕາມລຳດັບເພື່ອດູຄ່າ SOI ແສດຄ່າ SOI ດັ່ງຮູບທີ່ 4-3



ທີ່ມາ: ATSE Focus No 99, November/December 1997

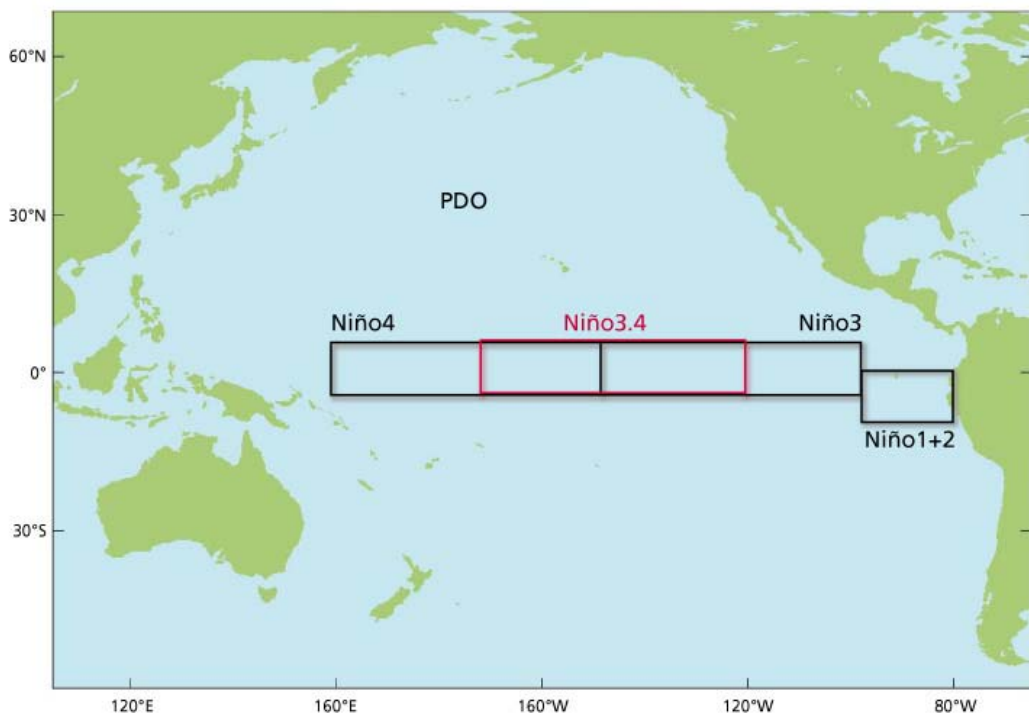
ຮູບທີ່ 4-2 ຕໍ່າແນ່ງທີ່ຕັ້ງເກະຕາອີຕີ ແລະ ເມື່ອງດາຈິວິນ ຮາມທຶນກຸມົມວາກທີ່ໄດ້ຮັບອີທີພລຈາກປະກຸງກາຮົນ Southern Oscillation ຮາມທັງແສດຄ່າສັນປະສິທິຂີ້ວາມສັນພັນຂີ້ຂອງຄ່າ SLP ຮາຍປີ ທີ່ເກີດບົນໂລກ

ຄວາມສັນພັນຂີ້ຂອງທັງສອງປະກຸງກາຮົນ ຈຶ່ງເປັນຄວາມສັນພັນຂີ້ຮະຫວ່າງການຜັນແປງຫວ່າງປີ ຂອງອຸນຫກຸມືພັນໜ້າທະເລ ກັບການເປີ່ຍນແປລງຄວາມເຂັ້ມຂອງກາຮຸນເວີຍນໃນແນວດິງໃນທີ່ຕະວັນຕະກ-ຕະວັນອອກ (Walker Circulation) ແລະ ກາຣເປີ່ຍນແປລງຂອງຝົນບຣິເວນແປີຟິກແນບສູນຢູ່ສູງຕະບຣິເວນອິນໂດນີ ໂດຍປະກຸງກາຮົນທັງສອນນີ້ເປັນຕົວເຊື່ອການຜັນແປງຫວ່າງມາສຸມທຽບບໍ່ຮາຍາກາສ ຜົ່ງເປັນຕົວຄຸມໜັກຂອງກາລອາກາສແລະກຸມົມອາກາສໂລກ (ນິພນົກ ຕັ້ງອວມ ແລະຄະນະ)



ที่มา: http://ioc3.unesco.org/oopc/state_of_the_ocean/atm/

รูปที่ 4-3 ค่าดัชนีความผันแปรของระบบอากาศในชีกโลกใต้ (SOI)

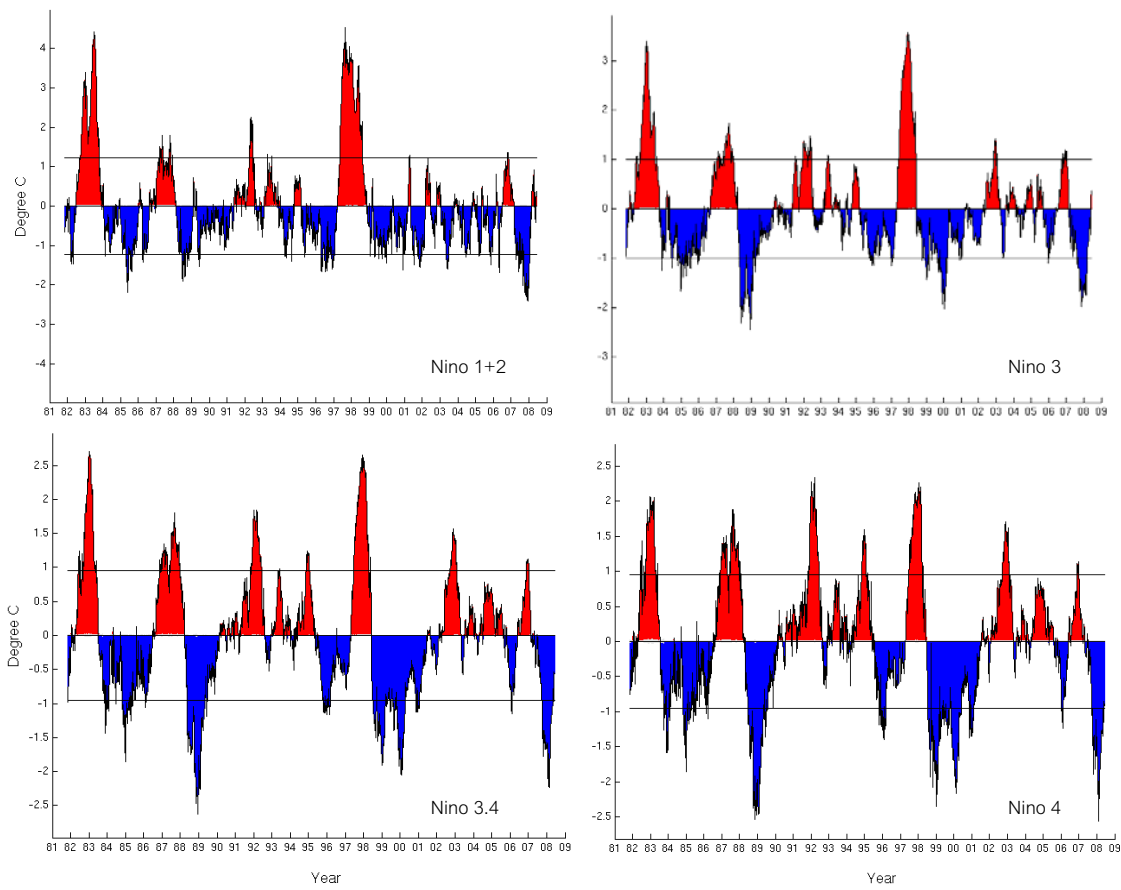


ที่มา: http://ioc3.unesco.org/oopc/state_of_the_ocean/atm/

รูปที่ 4-4 การกำหนดพื้นที่ตัวแทนในค่าผิดสภาพอุณหภูมิผิวน้ำทางลบบริเวณกลางมหาสมุทร
แปซิฟิก Nino 1+2 Nino 3 Nino 3.4 และ Nino 4

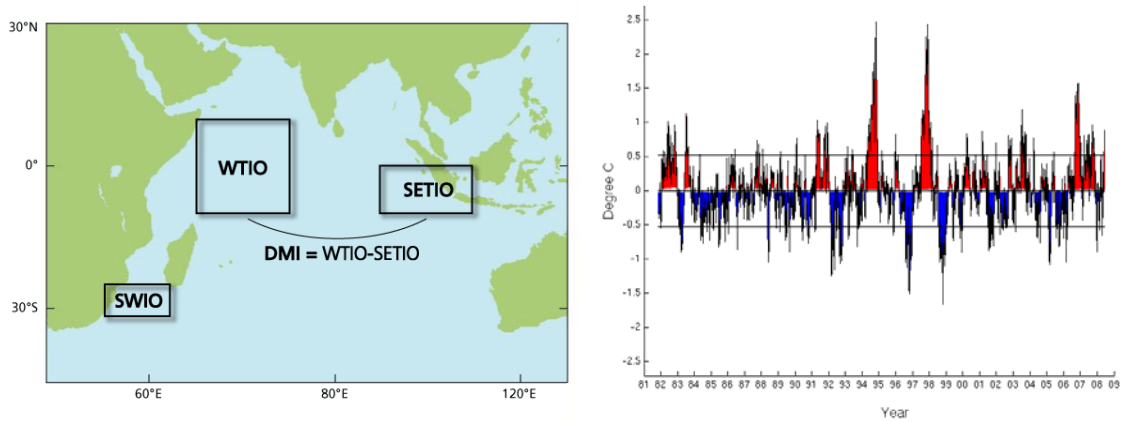
นอกจากร่องน้ำค่าอุณหภูมิเฉลี่ยอีกหลายอย่างที่ช่วยบ่งชี้การเกิดปรากฏการณ์ดังกล่าว ค่าผิดสภาวะอุณหภูมิผิวน้ำหนึ่งที่ระบุในบริเวณกลางมหาสมุทรแปซิฟิกเป็นวิธีการหนึ่งในการบ่งชี้สภาพ El Nino ในมหาสมุทรแปซิฟิกได้ โดยมีการกำหนดพื้นที่ตัวแทนในบริเวณที่ต่างๆ กัน ได้แก่ Nino 1+2 Nino 3 Nino 3.4 และ Nino 4 ตัวอย่างที่ 4-4 และแสดงค่าดังรูปที่ 4-5 มีรายละเอียดแต่ละตัวชี้วัดดังนี้

- | | |
|----------|--|
| Nino 1+2 | แสดงอุณหภูมิเฉลี่ยบริเวณมหาสมุทรแปซิฟิกด้านตะวันออก บริเวณห่างจากชายฝั่งของเปรูและชิลี (90° W - 80° W, 10° S - 0°) |
| Nino 3 | แสดงอุณหภูมิเฉลี่ยบริเวณสภาพ El Nino บริเวณมหาสมุทรแปซิฟิกด้านตะวันออก (150° W - 90° W, 5° S - 5° N) |
| Nino 3.4 | แสดงอุณหภูมิเฉลี่ยบริเวณสภาพ El Nino บริเวณตอนกลางมหาสมุทรแปซิฟิก (150° W - 90° W, 5° S - 5° N) |
| Nino 4 | แสดงอุณหภูมิเฉลี่ยบริเวณสภาพ El Nino บริเวณมหาสมุทรแปซิฟิกด้านตะวันตก (160° E - 150° W, 5° S - 5° N) |



ที่มา: http://ioc3.unesco.org/oopc/state_of_the_ocean/atm/

รูปที่ 4-5 ค่าผิดสภาพอุณหภูมิผิวน้ำที่ทะเลบริเวณกลางมหาสมุทรแปซิฟิกรายสัปดาห์ของ Nino 1+2 Nino 3 Nino 3.4 และ Nino 4



ที่มา: http://ioc3.unesco.org/oopc/state_of_the_ocean/atm/

รูปที่ 4-6 ผลต่างค่าผิดสภาพอุณหภูมิผิวน้ำที่ทะเลระหว่างมหาสมุทรในเดียวกันแต่วันตากและตะวันออก (DMI)

นอกจากนี้ ผลต่างค่าผิดสภาพอุณหภูมิผิวน้ำหน้าที่จะระบุว่า “มหาสมุทรอินเดีย” ตัววันตกละ ตัววันออก (Dipole Mode Index: DMI) ดังแสดงในรูปที่ 4-6 ที่เป็นตัวชี้วัดการเกิดปรากฏการณ์ Indian Ocean Dipole หรือ IOD ซึ่งเป็นปรากฏการณ์ที่เชื่อมโยงระหว่างชั้นบรรยากาศและมหาสมุทรในมหาสมุทรอินเดีย ปรากฏการณ์นี้สามารถส่งผลต่อการเปลี่ยนแปลงสภาพภูมิอากาศในภูมิภาคเอเชียตัววันตกละ โดยในสภาวะปกติมหาสมุทรอินเดียจะแสดงลักษณะของมวลน้ำเย็นในบริเวณชายฝั่งตัววันออกเฉียงใต้ และปรากฏมวลน้ำอุ่นบริเวณฝั่งตัววันตกละ ของมหาสมุทรอินเดียในเขตศูนย์สูตร แต่ในบางปีจะเกิดการแปรปรวนโดยมวลน้ำอุ่นทางฝั่งตัววันตกละ มีการเลื่อนตำแหน่งไปทางตัววันตกละ ซึ่งจะส่งผลให้ฝนไปตกหนือฝั่งตัววันตกละของทวีปอัฟริกามากขึ้น และก่อให้เกิดสภาวะอากาศแห้งแล้งในหลายบริเวณในภูมิภาคเอเชียตัววันตกละโดยเฉพาะ ประเทศไทยในปีนี้เช่น (ศูนย์เครือข่ายงานวิเคราะห์วิจัยและฝึกอบรมการเปลี่ยนแปลงของโลก แห่งภูมิภาคเอเชียตัววันตกละ 2551)

จากการศึกษา ความผันแปรของลักษณะอากาศระดับทวีปภายใต้อิทธิพลของ ENSO ของนิพนธ์ ตั้งธรรม และคณะ พบว่า ENSO ไม่มีอิทธิพลที่ชัดเจนต่อลักษณะอากาศ ในเดือนมกราคมแต่จะทำให้เดือนกุมภาพันธ์ มีนาคม เมษายน พฤศภานุ วีบริมาณฝนต่ำกว่า และอุณหภูมิเฉลี่ยสูงกว่าปกติ เช่นเดียวกันในเดือนมิถุนายน ในเดือนกรกฎาคม ซึ่งเข้ากลางฤดูฝน ENSO มีผลทำให้พายุหมุนเขตร้อนเข้ามาปกคลุมประเทศไทยน้อยกว่าปกติ เดือนสิงหาคมซึ่งเป็นเดือนที่มีฝนตกสูงสุดในภาคเหนือและภาคตะวันออกเฉียงเหนือของประเทศไทยก็ปรากฏว่าในปีที่มีปรากฏการณ์ ENSO แม้ว่าจำนวนพายุหมุนเขตร้อนเข้ามาไม่น้อยกว่าปกติ แต่พายุหมุนดังกล่าวมีศักยภาพในการเกิดฝนน้อยกว่าปกติ แต่ในเดือนกันยายน ซึ่งเข้าช่วงปลายฤดูฝน จำนวนพายุจะเข้านานน้อยกว่าปกติ ในเดือนตุลาคมซึ่งเป็นช่วงเปลี่ยนฤดูจากฤดูฝนเข้าสู่ฤดูแล้ง ลมมรสุมฤดูฝนในเดือนนี้ของปีที่เกิดปรากฏการณ์ ENSO จะอ่อนกำลังและเร็วกว่าปกติ แล้วจะเกิดการให้ผลของมวลอากาศร้อนเข้ามาทำให้อากาศแห้งกว่าปกติ เช่นเดียวกันกับในเดือนธันวาคม

และจากการศึกษาของศูนย์เครือข่ายงานวิเคราะห์วิจัยและฝึกอบรมการเปลี่ยนแปลงของโลก แห่งภูมิภาคเอเชียตะวันออกเฉียงใต้ ซึ่งทดสอบความสัมพันธ์ระหว่างปริมาณฝนรวมรายฤดูกาล กับตัวชี้วัดทางสมุทรศาสตร์ Nino 3.4 และ DMI พบว่าในกรณีวิเคราะห์ปริมาณฝนรวมในช่วงฤดูฝนนั้น ความสัมพันธ์ระหว่างตัวชี้วัดทางสมุทรศาสตร์ Nino 3.4 จะเด่นชัดขึ้นเมื่อเข้าใกล้ช่วงฤดูกาลมากขึ้น โดยเฉพาะอย่างยิ่งในเดือนเมษายนและพฤษภาคม มีความสัมพันธ์อย่างมีนัยสำคัญทางสถิติ ที่ระดับนัยสำคัญ 0.05 เป็นสิ่งที่ยืนยันถึงความเกี่ยวข้องของปรากฏการณ์ ENSO กับความผันแปรของสภาพอากาศในภูมิภาคเอเชียตะวันออกเฉียงใต้ได้เป็นอย่างดี โดยลักษณะเช่นเดียวกันนี้ปรากฏในช่วงฤดู แล้งด้วยเช่นกัน อย่างไรก็ตามเมื่อพิจารณาถึงความสัมพันธ์ระหว่างตัวชี้วัด DMI กับปริมาณฝนในพื้นที่ลุ่มน้ำเจ้าพระยาตอนบนแล้ว กลับพบความสัมพันธ์ที่แตกต่างจาก Nino 3.4 กล่าวคือ ตัวชี้วัด DMI มีความสัมพันธ์สูงสุดกับปริมาณฝนบริเวณลุ่มน้ำเจ้าพระยาตอนบนในช่วงก่อนเข้าฤดูกาล 4 เดือน และลดลงอย่างมากเมื่อเริ่มเข้าฤดูกาล ซึ่งความสัมพันธ์นี้มีรูปแบบที่เหมือนกันในทั้ง 2 ช่วงฤดูกาลโดยที่ตัวชี้วัด DMI ที่แสดงความสัมพันธ์สูงสุดกับปริมาณฝนในพื้นที่ลุ่มน้ำเจ้าพระยาตอนบน คือ ตัวชี้วัด DMI ในเดือนมกราคม สำหรับช่วงฤดูฝน และในเดือนกรกฎาคม สำหรับช่วงฤดูแล้ง ในการวิเคราะห์การคาดการณ์ปริมาณฝนล่วงหน้าสำหรับฤดูฝนพบว่า ความสัมพันธ์ที่ปรากฏในเดือนมกราคมมีนัยสำคัญทางสถิติที่ระดับนัยสำคัญ 0.05 กับปริมาณฝนรวมในฤดูกาลที่จะมาถึงในปีนั้นๆ และเป็นที่น่าสังเกตว่าการใช้ตัวชี้วัด DMI ร่วมในการคาดการณ์น่าจะสามารถคาดการณ์ปริมาณฝนรวมล่วงหน้ารายฤดูกาลได้ดีมากขึ้น และนำมาสู่แนวคิดในการคาดการณ์ปริมาณฝนรวมในลุ่มแม่น้ำเจ้าพระยาโดยตัวชี้วัดทางสมุทรศาสตร์ ซึ่งอาจไม่จำเป็นต้องใช้ข้อมูลตัวชี้วัดทางสมุทรศาสตร์ทั้งสองในเดือนเดียวกันเพื่อให้ได้ผลการคาดการณ์ที่ดีที่สุด

4.3 ปีการเกิด เอลนิโญ่และ ลานีโญ่ที่ผ่านมา

ข้อมูลอุตุนิยมวิทยาและสมุทรศาสตร์ที่เฝ้าตรวจและพยากรณ์เหตุการณ์ เอลนีโญ/ล้านีโญ
มีขึ้นมากในปัจจุบันซึ่งได้มาจากประเทศไทยต่างๆ และระหว่างประเทศไทยที่มีระบบเฝ้าตรวจ หลายๆ กลุ่ม
สถาบันวิจัยและหน่วยงานอุตุนิยมวิทยาของประเทศไทยต่างๆ และการบริการทางอุตุนิยมวิทยาได้ทำงาน
รวมกันเกี่ยวกับการติดลองที่ยุ่งยากมากขึ้นของปรากฏการณ์เอลนีโญ/ล้านีโญเพื่อนำมาแก้ไขปรับปรุง
การคาดหมายและการผันแปรให้มีความชัดเจนและผลกระทบที่เกิดขึ้น การแลกเปลี่ยนและการ
ประเมินผลของข้อมูลอยู่ภายใต้โปรแกรมความร่วมมือจากองค์กรอุตุนิยมวิทยาโลก คณะกรรมการธุรกิจ

องค์กรกรอตุนิยมวิทยาโลกด้านภูมิอากาศ (CCI) และโปรแกรมภูมิอากาศโลก (WCP) เพื่อให้มีการพัฒนาในกิจกรรมเหล่านี้ในประเทศไทย (ศูนย์ภูมิอากาศแห่งชาติ, 2007) ดังนั้นการเกิดเคลื่อนโน้ม และ ล้านีญ่า ถูกจำแนกโดยเกณฑ์ที่แตกต่างกัน บางระบบใช้ความรุนแรงของการเกิดและสัมภានของค่าดัชนีความผันแปรของระบบอากาศในชีกโลกได้ (SOI) ขณะที่บางระบบใช้ค่าผิดสภาพอุณหภูมิผิวน้ำทะเล (SST) ในแต่ละบริเวณของมหาสมุทรแปซิฟิก ดังที่กล่าวมาแล้วข้างต้น และบางระบบประเมินจากข้อมูลเหล่งต่าง ๆ มาประมาณความรุนแรงของการเกิดเคลื่อนโน้ม และ ล้านีญ่า โดยมีระบบที่ศึกษาการเกิดเคลื่อนโน้ม และ ล้านีญ่า และถูกใช้อ้างอิงมากที่สุดอยู่ 4 รายการ คือ

1) Western Region Climate Center (WRCC) at

<http://www.wrcc.dri.edu/enso/ensodef.html>

2) Climate Diagnostics Center (CDC) at

<http://www.cdc.noaa.gov/people/cathy.smith/best/#years>

3) Climate Prediction Center (CPC) at:

http://www.cpc.ncep.noaa.gov/products/analysis_monitoring/ensostuff/ensoyears.html

4) Multivariate ENSO Index from Climate Diagnostics Center (MEI) at

http://www.cdc.noaa.gov/ENSO/enso.mei_index.html

Jan Null (2007) "ได้ศึกษาความสอดคล้องของการเกิดเหตุภัยแล้งโน้ม และ ล้านีญ่า เลือกจากค่าการเกิด 3 ใน 4 ของการศึกษาจากหน่วยงานที่กล่าวแล้วข้างต้น ซึ่งการศึกษาด้วยวิธีต่าง ๆ ของแต่ละหน่วยงานมีความเชื่อมโยงกันอย่างเห็นได้ชัด และการประเมินความสอดคล้องโดยวิธีการของหน่วยงานต่าง ๆ จะหลีกเลี่ยงในการให้คะแนนวิธีการอันหนึ่งอันใดมากกว่า โดยเมื่อ WRCC, CPC และ MEI มีค่า W+ และ CDC มีค่า W จะแสดงถึงว่ามีความรุนแรงของการเกิดเคลื่อนโน้ม และ ล้านีญ่าของแต่ละหน่วยงานดังตารางที่ 4-1

ตารางที่ 4-1 ความสอดคล้องของแต่ละระบบของปีการเกิด เอลนิño และ laníña

Winter	WRCC	CDC	CPC	MEI	Consensus
1950-51	C+	C	C	C	La Niña
1951-52	W+		W-		
1952-53					
1953-54	W		W-		
1954-55			C	C-	
1955-56	C+		C+	C	Strong La Niña
1956-57	C		C-	C-	Weak La Niña
1957-58	W	W	W+	W	El Niño
1958-59			W+	W-	
1959-60					
1960-61					
1961-62				C-	
1962-63				C-	
1963-64	W		W-		
1964-65	C		C	C-	La Niña
1965-66	W+	W	W	W	El Niño
1966-67				C-	
1967-68				C-	
1968-69			W	W-	
1969-70	W		W		
1970-71	C		C	C	La Niña
1971-72	C		C-	C-	Weak La Niña
1972-73	W+	W	W+	W	Strong El Niño
1973-74	C+	C	C+	C+	Strong La Niña
1974-75	C		C-	C-	Weak La Niña
1975-76	C+	C	C+	C	Strong La Niña
1976-77	W		W-		
1977-78	W+		W-	W-	El Niño
1978-79					
1979-80			W-	W-	
1980-81					

ตารางที่ 4-1 ความสอดคล้องของแต่ละระบบของปีการเกิด เอลนิโญและล้านีนี (ต่อ)

Winter	WRCC	CDC	CPC	MEI	Consensus
1981-82					
1982-83	W+	W	W+	W+	Strong El Niño
1983-84			C-		
1984-85			C-	C-	
1985-86					
1986-87			W	W	
1987-88	W+	W-	W	W-	El Niño
1988-89	C+	C-	C+	C	Strong La Niña
1989-90					
1990-91			W+		
1991-92	W	W	W+	W+	Strong El Niño
1992-93	W		W+	W-	El Niño
1993-94	W+		W		
1994-95	W+		W	W-	El Niño
1995-96			C-	C-	
1996-97					
1997-98	W+	W	W+	W+	Strong El Niño
1998-99	C+		C	C-	La Niña
1999-00			C	C	
2000-01	C	C	C-	C-	La Niña
2001-02					
2002-03	W	W	W	W	El Niño
2003-04					

บทที่ 5

การศึกษาพฤติกรรมของน้ำฝนน้ำท่าและสภาพภูมิอากาศของประเทศไทย

ในบทนี้ข้อมูลน้ำฝนน้ำท่า และสภาพภูมิอากาศของประเทศไทย อันได้แก่ อุณหภูมิเฉลี่ย อุณหภูมิสูงสุด และอุณหภูมิต่ำสุด ที่ได้จากสถานีตรวจวัดใน 25 ลุ่มน้ำของประเทศไทย จะถูกนำมาใช้ เพื่อศึกษาพฤติกรรมต่างๆ อันได้แก่ (1) แนวโน้มการเปลี่ยนแปลงของข้อมูลรายปีจากอดีตถึงปัจจุบัน ด้วยสมการสหสมพันธ์เชิงเส้น (2) การเปลี่ยนแปลงของสภาพภูมิอากาศเฉลี่ยรายเดือนและลักษณะ ของฤดูกาล ด้วยการเปรียบเทียบในอดีตและปัจจุบัน และ (3) ค่าการเกิดช้า ความชุนแรงและการเปลี่ยนแปลง ด้วยการใช้เทคนิคเวลเวต (Wavelet) โดยจะทำการสรุปพฤติกรรมที่มีความสำคัญลงบน แผนที่ เพื่อแสดงการกระจายตัวของพฤติกรรมดังกล่าวเชิงพื้นที่ ใน 25 ลุ่มน้ำของประเทศไทย นอกเหนือจากนี้ยังได้ศึกษาพฤติกรรมของระดับน้ำทะเลเบื้องต้น เพื่อช่วยสนับสนุนการศึกษาการเปลี่ยนแปลงสภาพภูมิอากาศได้ดียิ่งขึ้น ซึ่งการศึกษาดังกล่าวมีวัตถุประสงค์เพื่อตรวจสอบว่า พฤติกรรมที่สำคัญเหล่านี้มีการเปลี่ยนแปลงไปจากในอดีตหรือไม่

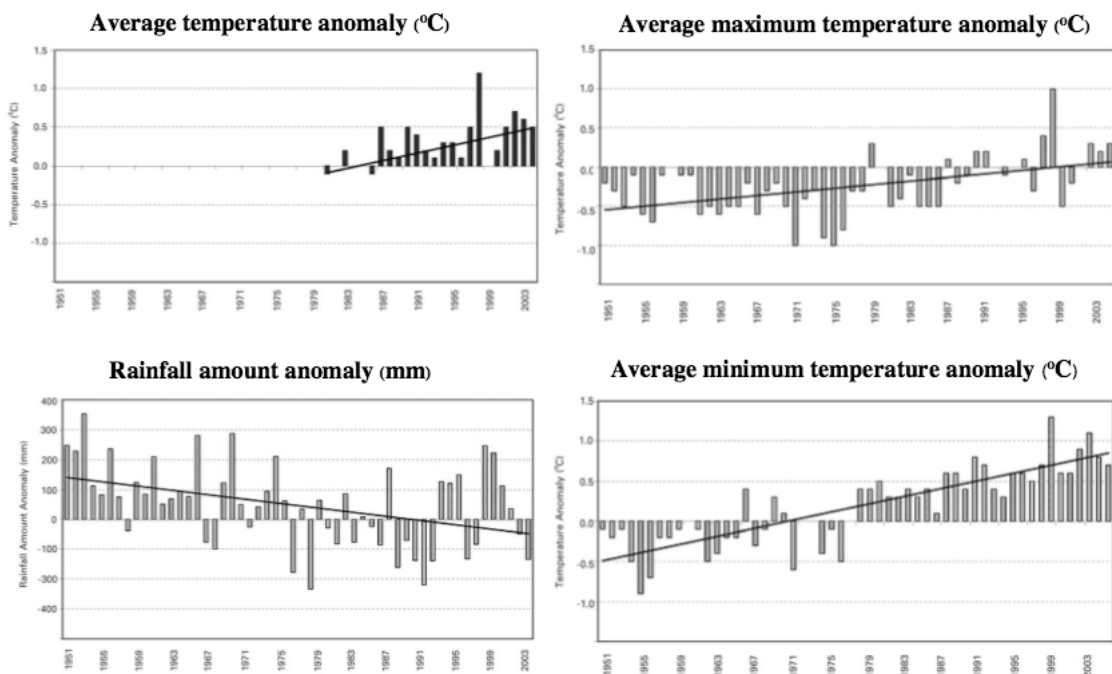
5.1 แนวทางการศึกษาพฤติกรรมของข้อมูลอนุกรมเวลา

การศึกษาพฤติกรรมของข้อมูลน้ำฝนน้ำท่า และสภาพภูมิอากาศของประเทศไทย รวมไปถึง การเปรียบเทียบพฤติกรรมของตัวแปรที่ได้จากสถานีตรวจวัดและที่ใช้ในแบบจำลอง GCM ประกอบด้วย (1) การศึกษาแนวโน้มการเปลี่ยนแปลงของค่าเฉลี่ยรายปี (2) การเปลี่ยนแปลงของสภาพภูมิอากาศเฉลี่ยรายเดือนและลักษณะของฤดูกาลที่เปลี่ยนแปลงไป และ (3) ภาวิเคราะห์ค่า การเกิดช้า ซึ่งมีรายละเอียดและทฤษฎีที่เกี่ยวข้องดังนี้

5.1.1 การศึกษาแนวโน้มการเปลี่ยนแปลงของค่าเฉลี่ยรายปี

การศึกษาแนวโน้มการเปลี่ยนแปลงของตัวแปรน้ำฝนน้ำท่า และสภาพภูมิอากาศรายปี นี้ จะใช้ภาวิเคราะห์ด้วยสมการความถดถอยเชิงเส้น (Linear Regression Model) เพื่อหาแนวโน้ม ของข้อมูลว่ามีการเปลี่ยนแปลงเพิ่มขึ้น หรือลดลงต่อปีอย่างไร แนวทางการศึกษารักษาลักษณะนี้เป็น แนวทางพื้นฐานและนิยมใช้เพื่อศึกษาข้อมูลอนุกรมเวลาเบื้องต้น เนื่องจากเป็นวิธีการที่รวดเร็ว และ ง่ายต่อความเข้าใจ ดังตัวอย่างการศึกษาแนวโน้มการเปลี่ยนแปลงสภาพอากาศของประเทศไทยโดย

กรมอุตุนิยมวิทยา (Chamnong Kaewchada, 2005) ที่แสดงในรูปที่ 5-1 ชี้ผลการศึกษาดังกล่าวสรุปได้ว่า อุณหภูมิเฉลี่ย สูงสุด และต่ำสุดของประเทศไทยในแต่ละปี มีแนวโน้มที่จะเพิ่มขึ้น ในทางตรงกันข้ามปริมาณน้ำฝนเฉลี่ยรายปีของประเทศไทย มีแนวโน้มที่จะลดลง เป็นต้น



รูปที่ 5-1 ตัวอย่างการศึกษาแนวโน้มการเปลี่ยนแปลงของข้อมูลน้ำฝนและอุณหภูมิของประเทศไทย
ด้วยการใช้สมการการถดถอยเชิงเส้น (ที่มา Chamnong Kaewchada, 2005)

จากรูปที่ 5-1 เส้นที่แสดงแนวโน้มการเปลี่ยนแปลงของตัวแปรรายปี ได้จากการวิเคราะห์ความถดถอยเชิงเส้นตรง ซึ่งประกอบด้วยค่าคงที่สองตัว อันได้แก่ (a) ค่าคงที่แสดงการเพิ่มขึ้นหรือลดลงของตัวแปร รายปี (slope) และ (b) ค่าคงที่แสดงค่าของตัวแปรที่เวลาเริ่มต้น (intersection) ซึ่งทั้งสองค่านี้เป็นค่าที่ทำให้ความคลาดเคลื่อนกำลังสองระหว่างค่าตรวจวัดจริงและค่าประมาณจากสมการ มีค่าน้อยที่สุด (Linear Least Square) ทั้งนี้ในการศึกษาแนวโน้มการเปลี่ยนแปลงจะเน้นค่าคงที่ที่แสดงการเพิ่มขึ้นหรือลดลงของตัวแปร รายปี เป็นหลัก

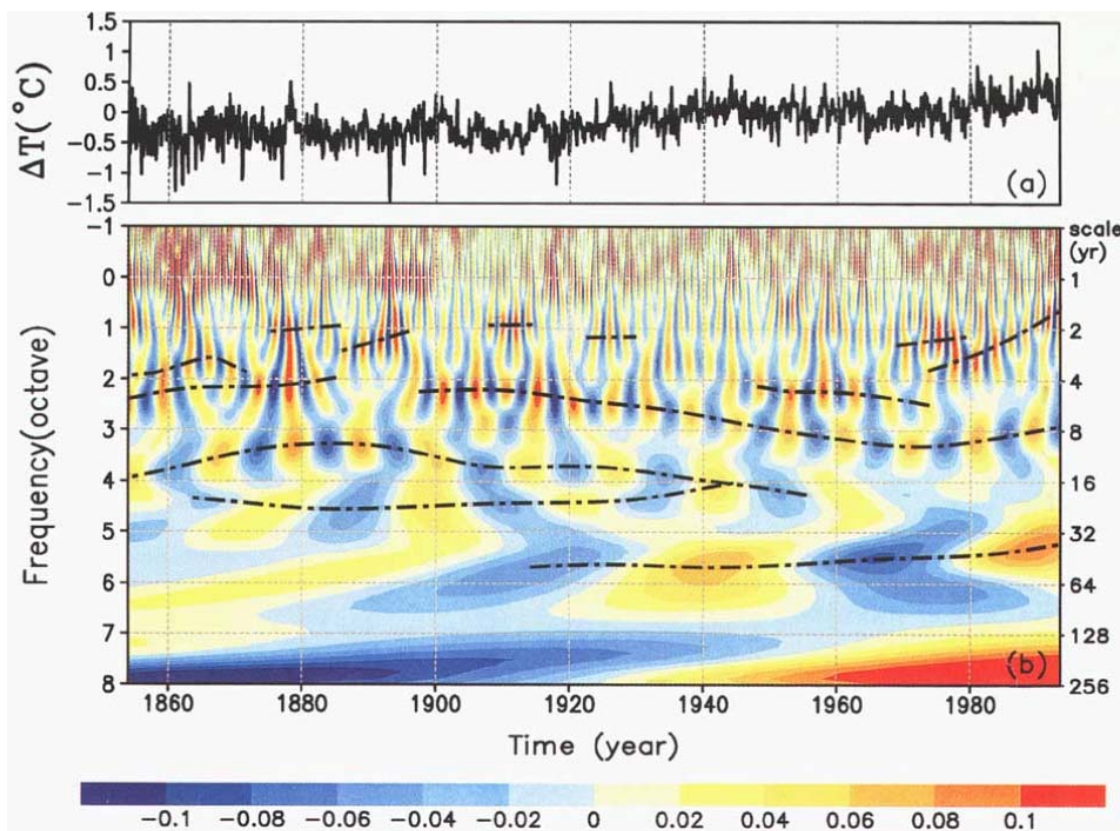
แม้ว่าแนวทางในการศึกษาแนวโน้มการเปลี่ยนแปลงของปริมาณน้ำฝนน้ำท่าและสภาพอากาศของประเทศไทยในลักษณะนี้ได้เคยมีการศึกษามาก่อนแล้ว แต่ยังไม่พบว่ามีการรวบรวมข้อมูลแนวโน้มการเปลี่ยนแปลงจากข้อมูลที่สถานีต่างๆ และค่าเฉลี่ยในแต่ละลุ่มน้ำ มาแสดงผลร่วมกันเชิงพื้นที่ ซึ่งการกระจายของพฤติกรรมเชิงพื้นที่จะช่วยให้เกิดความเข้าใจในพฤติกรรมของตัวแปรต่างๆ

เหล่านี้ได้ดีขึ้น และมีประโยชน์มากกว่าการแสดงแนวโน้มการเปลี่ยนแปลงของค่าเฉลี่ยทั้งประเทศ เพียงค่าเดียวที่ได้ทำการศึกษากันมาในอดีต

5.1.2 การศึกษาควบคุณภาพการเกิดข้อความรุนแรงและการเปลี่ยนแปลง

การศึกษาพฤติกรรมด้านควบคุณภาพการเกิดข้อความรุนแรง และการเปลี่ยนแปลงของข้อมูลน้ำฝนน้ำท่า และสภาพภูมิอากาศในประเทศไทยที่ผ่านมาอย่างมีไม่มากนัก ส่วนใหญ่การศึกษาดังกล่าวนิยมใช้การวิเคราะห์ข้อมูลในมิติของเวลา โดยเน้นการเปลี่ยนแปลงที่เกิดขึ้นเป็นรายฤดูกาลเป็นหลัก แนวทางการศึกษาลักษณะนี้ไม่สามารถแสดงพฤติกรรมการเกิดข้อความรุนแรงและการเปลี่ยนแปลงที่เกิดขึ้นได้ทั้งหมดอย่างมีประสิทธิภาพ ดังนั้นเพื่อให้การศึกษาพฤติกรรมด้านควบคุณภาพการเกิดข้อความรุนแรง ของตัวแปรน้ำฝนน้ำท่า และสภาพภูมิอากาศของประเทศไทย ความถูกต้องและสมบูรณ์ การศึกษานี้จึงใช้เทคนิคการวิเคราะห์ข้อมูลในมิติของความถี่แทน โดยใช้เทคนิคการแปลงเวฟเล็ต (Wavelet) ซึ่งแนวทางดังกล่าวจะแสดงให้เห็นพฤติกรรมของความถี่หลักหรือควบคุณภาพการเกิดข้อความรุนแรงและการเปลี่ยนแปลงในช่วงเวลาต่างๆ กันได้โดยง่ายและมีประสิทธิภาพ

การแปลงเวฟเล็ตสามารถแสดงถึงลักษณะของข้อมูลอนุกรมเวลาได้ดีกว่า โดยเฉพาะอย่างยิ่งเมื่อข้อมูลมีการเปลี่ยนขนาดหรือความถี่ และมีการตรวจวัดที่ยาวนาน ดังตัวอย่างของข้อมูลอุณหภูมิเฉลี่ยของซีกโลกเหนือรายเดือนในระยะเวลาประมาณ 30 ปีที่ผ่านมา (Lau and Weng, 1995) หากพิจารณาในมิติของเวลาดังที่นิยมใช้กันอยู่ จะสามารถแสดงข้อมูลได้ดังรูปที่ 5-2 (บน) ซึ่งไม่สามารถแยกแยะความถี่หลักหรือควบคุณภาพการเกิดข้อความรุนแรงที่สำคัญได้ อย่างไรก็ได้ หากใช้เทคนิคการแปลงเวฟเล็ต ข้อมูลดังกล่าวจะสามารถแสดงได้ในรูปของเส้นขั้นความสูง โดยแทนนองแสดงช่วงเวลา แทนตัวแสดงความถี่หรือควบคุณภาพการเกิดหลัก (ความถี่ที่เก้าบส่วนกลับของควบคุณภาพการเกิด) และความสูงแสดงความสำคัญของควบคุณภาพการเกิดที่เวลาหนึ่งๆ ดังรูปที่ 5-2 (ล่าง) หากเชื่อมต่อบริเวณที่มีความสำคัญซึ่งแสดงบริเวณที่เป็นสีแดง (ตามเส้นไข่ปลา) จะสามารถบอกถึงควบคุณภาพการเกิดที่สำคัญในแต่ละช่วงเวลาได้ และสามารถบอกได้ว่าควบคุณภาพการเกิดเหล่านั้นมีการเปลี่ยนแปลงไปตามเวลาในลักษณะใด สำหรับผลการศึกษาในรูปที่ 5-2 จะพบว่าข้อมูลอุณหภูมิดังกล่าว มีควบคุณภาพการเกิดข้อความรุนแรงที่สำคัญที่ 2-3 ปี และมีการเปลี่ยนแปลงไปตามระยะเวลา และจะพบควบคุณภาพการเกิดข้อความรุนแรงอื่นๆ ด้วยแต่เมื่อความสำคัญลดลงไปรายละเอียดของการแปลงเวฟเล็ตและการแสดงผลในมิติของเวลาดังกล่าวจะมีผู้สนใจสามารถอ่านเพิ่มเติมได้ในภาคผนวก ก



รูปที่ 5-2 (a) ข้อมูลอนุกรมเวลาของอุณหภูมิเฉลี่ยของโลกในชีกโลกหนึ่งที่เปลี่ยนแปลงไปจากค่าเฉลี่ย (b) ผลการแปลงเวลาฟลีตสำหรับข้อมูลอนุกรมเวลาดังกล่าว โดยสีแสดงสเกลที่มีความสำคัญ (ที่มา Lau and Weng, 1995)

5.1.3 การเปลี่ยนแปลงสภาพภูมิอากาศเฉลี่ยรายเดือนและเปรียบเทียบลักษณะของฤดูกาล

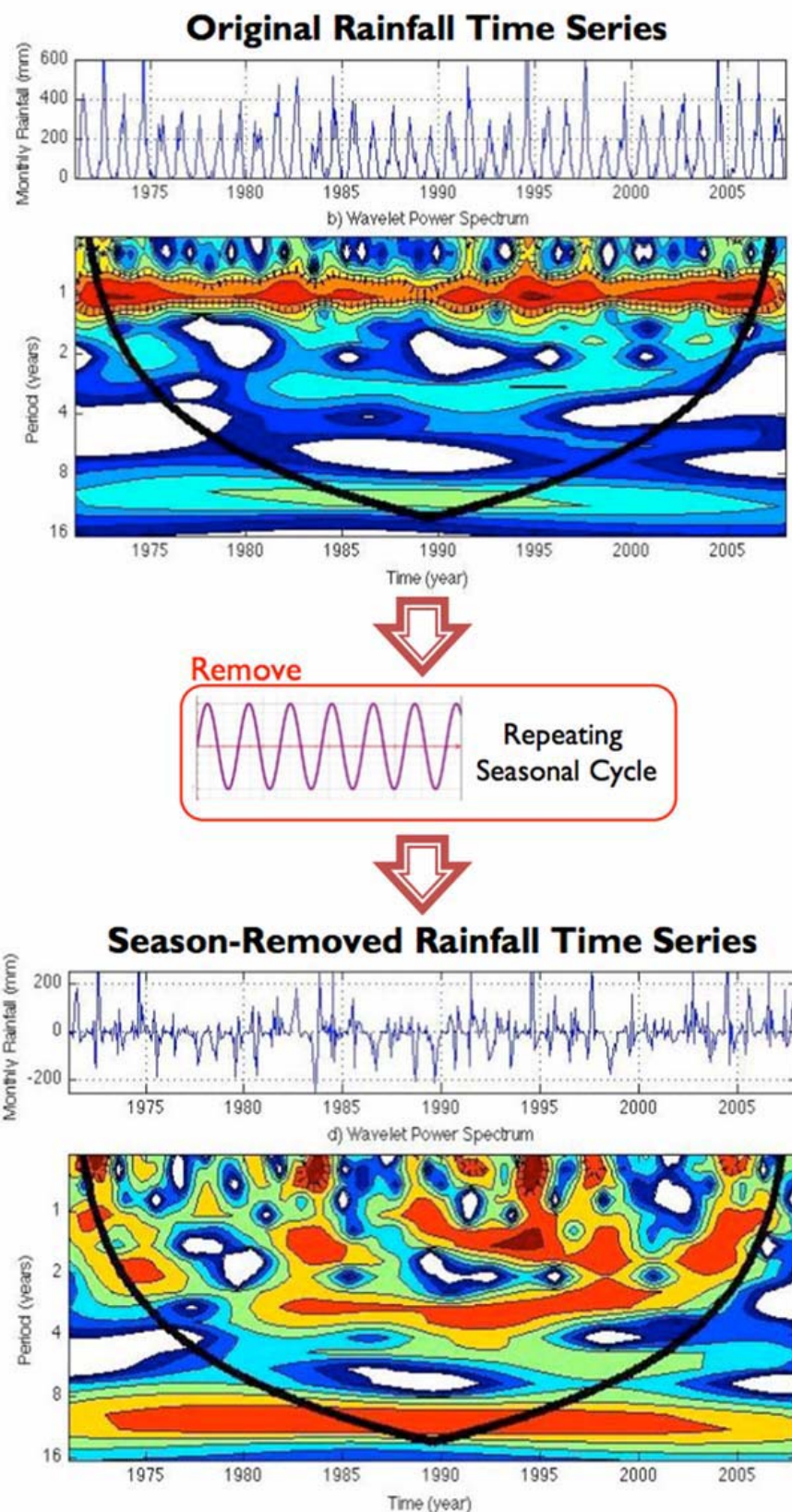
ลักษณะของฤดูกาลของข้อมูลน้ำฝนน้ำท่า และสภาพภูมิอากาศของประเทศไทยสามารถคำนวณได้จากค่าเฉลี่ยของตัวแปรในแต่ละเดือน โดยในการเปรียบเทียบลักษณะของฤดูกาลจะเปรียบเทียบลักษณะในอดีต ซึ่งได้จากการเปลี่ยนแปลงในปี ค.ศ. 1995 กับลักษณะในปัจจุบัน ซึ่งได้จากการเปลี่ยนแปลงในปี ค.ศ. 1995 เป็นต้นมา การเปรียบเทียบดังกล่าวจะแสดงให้เห็นถึงการเปลี่ยนแปลงของฤดูกาลในประเทศไทยอย่างคร่าวๆ โดยพิจารณาการเพิ่มขึ้น หรือลดลงของข้อมูลเฉลี่ยรายเดือนเหล่านี้ และตำแหน่งหรือเดือนที่ค่าเหล่านี้มีค่าสูงสุดหรือต่ำสุดประกอบกัน

ถึงแม้ว่าการวิเคราะห์ลักษณะของถูกากานี้ จะได้มีการศึกษามาแล้วในอดีต แต่การศึกษาที่ผ่านมาจะเน้นเฉพาะพฤติกรรมของข้อมูลเฉลี่ยของประเทศไทย หรือในพื้นที่เฉพาะหนึ่งๆ โดยไม่มีการแสดงลักษณะการกระจายของพฤติกรรมในเชิงพื้นที่ ดังนั้นในการศึกษานี้จึงทำการรวบรวม การเปลี่ยนแปลงจากแต่ละสถานี และค่าเฉลี่ยของแต่ละลุ่มน้ำแล้ว เพื่อเสนอผลบนแผนที่ ให้เห็นถึง การกระจายของการเปลี่ยนแปลง และความสอดคล้องของพฤติกรรมในภูมิภาคต่างๆ ได้ชัดเจนยิ่งขึ้น และการวิเคราะห์เชิงกลุ่มพื้นที่ เช่นเดียวกับการวิเคราะห์แนวโน้มการเปลี่ยนแปลงก็จะทำให้เห็นการเปลี่ยนแปลงชัดเจนขึ้นด้วยเช่นกัน

5.1.4 สรุปลักษณะพฤติกรรมแบ่งตามลักษณะกลุ่มพื้นที่

จัดกลุ่มพื้นที่ของประเทศไทยตามลักษณะพื้นที่และความคล้ายคลึงของข้อมูลออกเป็น 6 กลุ่ม คือ กลุ่ม 1 ได้แก่ กลุ่มพื้นที่ภาคเหนือ กลุ่ม 2 ได้แก่ กลุ่มพื้นที่ภาคตะวันออกเฉียงเหนือ กลุ่ม 3 ได้แก่ กลุ่มพื้นที่ภาคกลาง กลุ่ม 4 ได้แก่ กลุ่มพื้นที่ภาคตะวันออก กลุ่ม 5 ได้แก่ กลุ่มพื้นที่ชายฝั่ง ทะเลฝั่งอ่าวไทย และกลุ่ม 6 ได้แก่ กลุ่มพื้นที่ชายฝั่งทะเลฝั่งอันดามัน โดยสรุปลักษณะโดยใช้สัญลักษณ์เพื่อให้เห็นการเปลี่ยนแปลงในเชิงกลุ่มพื้นที่ชัดเจนขึ้น

อนึ่ง เนื่องจากข้อมูลน้ำฝนน้ำท่า และสภาพภูมิอากาศของประเทศไทยมีลักษณะการเกิดช้าที่ 1 ปีที่เด่นชัด ทำให้การแสดงผลของเวฟเล็ตที่คابความถี่อื่นๆ มีลักษณะที่ไม่ชัดเจน ดังแสดงในรูปที่ 5-3 (บ) ซึ่งได้จากการวิเคราะห์เวฟเล็ตของข้อมูลฝนของประเทศไทย เพื่อให้สามารถวิเคราะห์คابการเกิดช้าอื่นๆ ได้ ในการศึกษานี้จึงได้ทำการแปลงข้อมูลอนุกรมเวลาเดิมด้วยการหักค่าเฉลี่ยของตัวแปรในแต่ละเดือนออก และเรียกข้อมูลที่ได้นี้ว่า ข้อมูลปรับแก้ถูกาก (Season-Removed Data) เมื่อนำข้อมูลดังกล่าวไปวิเคราะห์ด้วยเทคนิคเวฟเล็ต จะได้ผลดังรูปที่ 5-3 (ล่าง) ซึ่งสะท้อนข้อมูลเดิมที่มีการหักคابการเกิดช้าที่ 1 ปีออกไป เพื่อให้คابการเกิดช้าอื่นๆ มีความชัดเจนมากขึ้น เนื่องจากรูปร่างของเวฟเล็ตที่ใกล้เคียงกันระหว่างข้อมูลทั้งสอง แต่มีขนาดความสูงที่คابการเกิดอื่นๆ สูงขึ้น



รูปที่ 5-3 เทคนิคการวิเคราะห์เวฟเล็ตด้วยข้อมูลปกติ (บม) และข้อมูลที่หักค่ารายฤดูหรือค่ากากเกิดที่ 1 ปีออก (ล่าง) ซึ่งทำให้ค่ากากเกิดอื่นๆ มีความเด่นชัดมากขึ้น

5.2 ขั้นตอนการวิเคราะห์พฤติกรรมของน้ำฝนน้ำท่าและสภาพภูมิอากาศของประเทศไทย

การวิเคราะห์ข้อมูลน้ำฝนน้ำท่า และสภาพภูมิอากาศรายเดือนในประเทศไทย เพื่อศึกษาพฤติกรรมในเรื่องของแนวโน้มการเปลี่ยนแปลง ลักษณะของฤดูกาล และคาดการณ์โดยใช้ทฤษฎีต่างๆ ที่กล่าวไปแล้วในเบื้องต้น มีแนวทางในการดำเนินการดังนี้

1) รวบรวมข้อมูลและตรวจสอบความถูกต้อง

- 1.1) รวบรวมข้อมูลน้ำฝนน้ำท่ารายเดือนของแต่ละสถานี ใน 25 ลุ่มน้ำหลักของประเทศไทย โดยจัดเรียงข้อมูลใหม่ให้อยู่ในรูปของอนุกรมเวลา หรือถ้าของข้อมูล โดยรายละเอียดการคัดเลือกสถานีที่ใช้ในการศึกษาได้กล่าวไว้ในบทที่ 2
- 1.2) ตรวจสอบความถูกต้องของข้อมูลด้วยการเปรียบเทียบ Double Mass Curve ของข้อมูลสถานีใกล้เคียงและเติมข้อมูลที่ขาด หรือผิดพลาดให้เหมาะสม ขั้นตอนดังกล่าวมีความจำเป็นในการแปลงเวฟเล็ต เพราะข้อมูลที่ไม่สมบูรณ์หรือผิดพลาดจะทำให้ความสำคัญของสเกลที่เวลาดังกล่าวมีความคาดเคลื่อนไปได้
- 1.3) เฉลี่ยข้อมูลน้ำฝน และสภาพภูมิอากาศรายเดือน ของสถานีในพื้นที่ลุ่มน้ำเดียวกัน โดยการเฉลี่ยถ่วงน้ำหนักด้วยพื้นที่ของ Thiessen Polygon เป็นข้อมูลเฉลี่ยของลุ่มน้ำ แสดงรายละเอียดตั้งภาคผนวก ค และเฉลี่ยสถานีทั้งหมดเป็นข้อมูลเฉลี่ยของประเทศไทย

2) ศึกษาแนวโน้มการเปลี่ยนแปลงของค่าเฉลี่ยรายปี

- 2.1) รวม (ข้อมูลฝน) หรือเฉลี่ย (ข้อมูลน้ำท่าและภูมิอากาศ) ข้อมูลรายเดือนไปเป็นข้อมูลอนุกรมเวลารายปี ในรูปแบบของถ่วงของข้อมูล
- 2.2) วิเคราะห์หาสมการสหสัมพันธ์เชิงเส้นตรง (Linear Regression)
- 2.3) เก็บค่าสัมประสิทธิ์ที่แสดงการเพิ่มขึ้นหรือลดลงของตัวแปรรายปี เพื่อการแสดงผลเชิงพื้นที่
- 2.4) หาค่าการกระจายตัวข้อมูลจากสมการเส้นตรงด้วยค่า R^2

3) การศึกษาคานการเกิดข้า ความรุนแรงและการเปลี่ยนแปลง

- 3.1) แปลงข้อมูลอนุกรมเวลารายเดือน และข้อมูลที่หักค่าตดูกากลอก (Season-Removed Data) ดวยการแปลงเวฟเล็ต ตามภาคผนวก ก โดยค่าที่ได้เป็นค่าเชิงซ้อน (Complex Number) ณ คานการเกิดข้าและที่เวลาหนึ่งๆ
- 3.2) หาแอมเพลจูดของเวฟเล็ต (Amplitude) โดยการหาขนาดของค่าเชิงซ้อน
- 3.3) แสดงผลในรูปแบบเส้นชั้นความสูง โดยให้แกนนอนเป็นช่วงเวลา และแกนตั้งเป็นคานการเกิดข้า
- 3.4) หาพัติกรรมที่สำคัญในแต่ละของคานการเกิดข้า ในพื้นที่ต่างๆ ที่มีลักษณะใกล้เคียงกัน โดยกำหนดคานการเกิดข้าและช่วงเวลาที่จะพิจารณา
- 3.5) หาแอมเพลจูดของพัติกรรมในข้อ 4.4) สำหรับทุกชุดรูปแบบพัติกรรมที่สนใจเพื่อการแสดงผลเชิงพื้นที่

4) เปรียบเทียบลักษณะของตดูกากล

- 4.1) คำนวนค่าเฉลี่ยของข้อมูลในแต่ละเดือน ก่อนปี ค.ศ. 1995 เป็นค่าฐานนี่ของจากพัติกรรมที่มีการเปลี่ยนแปลงเด่นชัดหลังปี 1995 ดังหัวข้อ 5.3.3
- 4.2) คำนวนค่าเฉลี่ยของข้อมูลในแต่ละเดือน หลังปี ค.ศ. 1995 เป็นค่าปัจจุบัน
- 4.3) เปรียบเทียบค่าเฉลี่ยของตดูกากลทั้งสอง เพื่อดูการเปลี่ยนแปลงรายตดูกากลที่เกิดขึ้น

5) ลักษณะของตัวแปลงบันແຜนที่เชิงพื้นที่และสรุปผล

- 5.1) นำข้อมูลสัมประสิทธิ์การเปลี่ยนแปลงแนวโน้มรายปี จากการวิเคราะห์สมการสหสัมพันธ์เชิงเส้น ณ ตำแหน่งสถานี และค่าเฉลี่ยของลุ่มน้ำ มาแสดงบันແຜนที่ 25 ลุ่มน้ำ
- 5.2) นำแอมเพลจูดของการวิเคราะห์เวฟเล็ต ตามลักษณะของพัติกรรมที่สำคัญต่างๆ จากแต่ละสถานีตราชวัด และค่าเฉลี่ยของลุ่มน้ำ มาแสดงบันແຜนที่ 25 ลุ่มน้ำ
- 5.3) จัดกลุ่มพื้นที่ที่มีพัติกรรมคล้ายกันออกเป็น 6 กลุ่ม แสดงในรูปสัญลักษณ์เพื่อให้เห็นการเปลี่ยนแปลงเชิงพื้นที่ได้ชัดเจนขึ้น

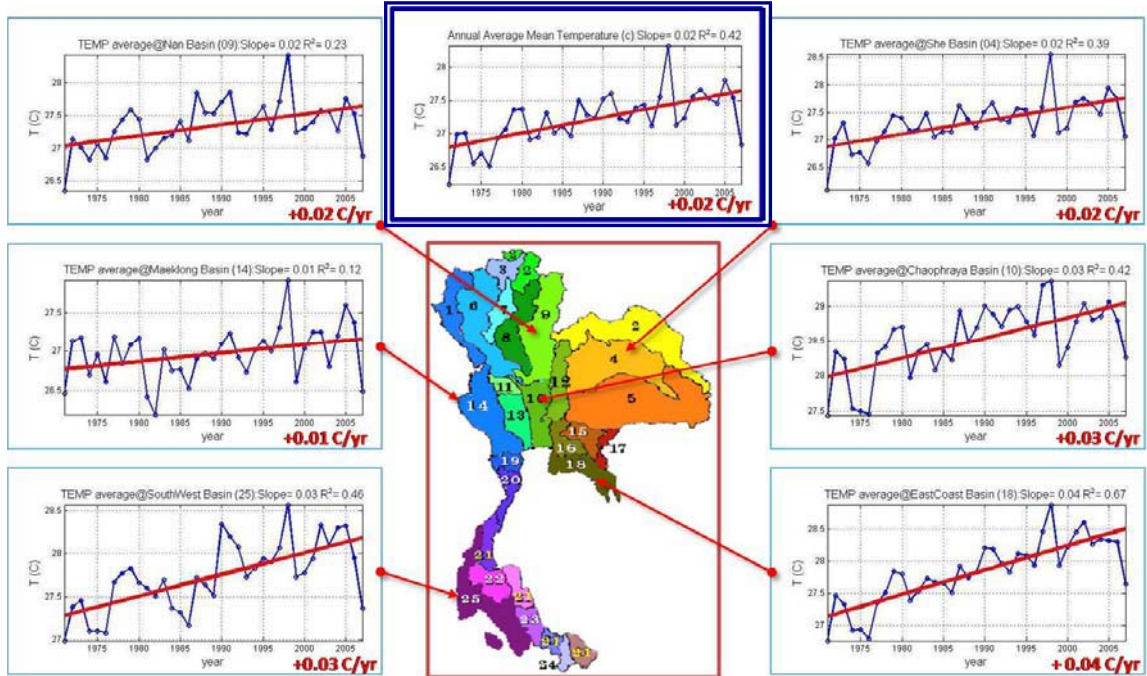
5.4) สรุปลักษณะการเปลี่ยนแปลงของข้อมูลน้ำฝนน้ำท่า และสภาพภูมิอากาศในพื้นที่ต่างๆ ของประเทศไทย เพื่อนำไปใช้ในการศึกษาความสัมพันธ์กับการเปลี่ยนแปลงสภาพอากาศของโลกในบทต่อไป

5.3 พฤติกรรมของข้อมูลสภาพภูมิอากาศในประเทศไทย

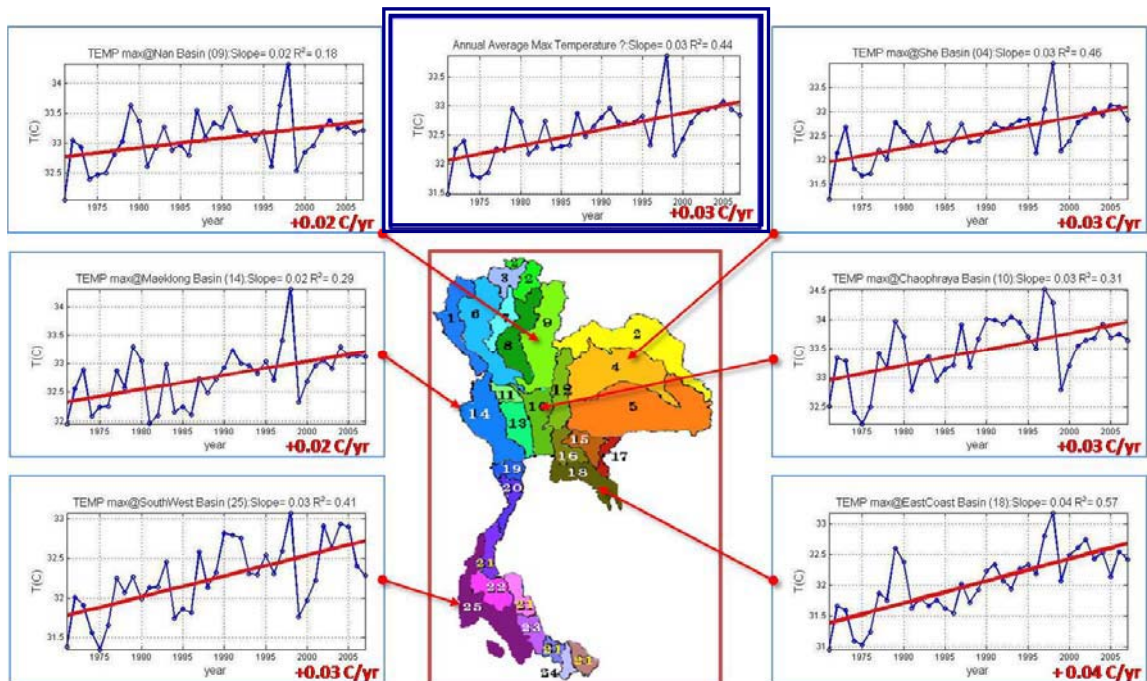
การศึกษาสภาพการเปลี่ยนแปลงภูมิอากาศของประเทศไทย ประกอบด้วยข้อมูล อุณหภูมิ เฉลี่ยรายเดือนของประเทศไทย อุณหภูมิสูงสุดเฉลี่ยรายเดือนของประเทศไทย และอุณหภูมิต่ำสุดเฉลี่ยรายเดือนของประเทศไทย

5.3.1 แนวโน้มการเปลี่ยนแปลงของสภาพภูมิอากาศในประเทศไทย

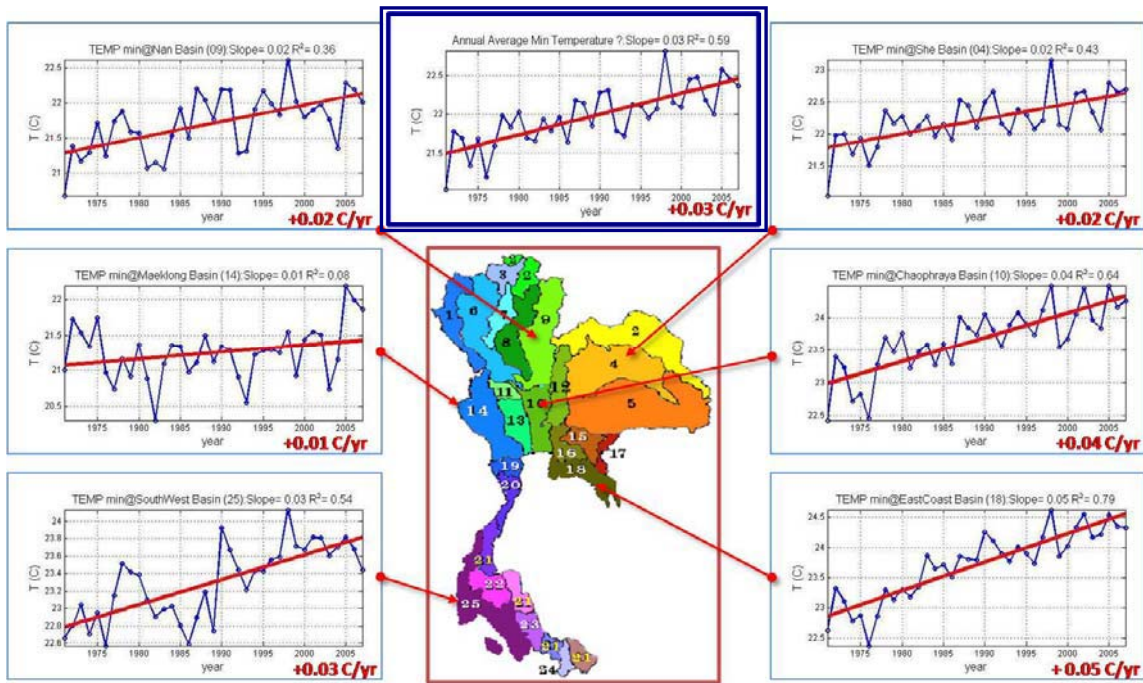
การเปลี่ยนแปลงของสภาพภูมิอากาศรายปี อันได้แก่อุณหภูมิเฉลี่ย อุณหภูมิสูงสุดเฉลี่ย และต่ำสุดเฉลี่ยของประเทศไทยในช่วงเวลา 40 ปีที่ผ่านมา (ตั้งแต่ปี ค.ศ. 1971 ถึง 2007) มีแนวโน้มสูงขึ้นเกือบในทุกพื้นที่ของประเทศไทย ตั้งแสดงในรูปที่ 5-4 ถึง 5-6 โดยมีอัตราการเพิ่มขึ้นของอุณหภูมิเฉลี่ยในพื้นที่ส่วนใหญ่ของประเทศไทยประมาณ $0.01 - 0.04^{\circ}\text{C}$ ต่อปี มีเพียงลุ่มน้ำแม่กลองและลุ่มน้ำบางปะกงที่มีอัตราการเพิ่มของอุณหภูมิน้อยกว่า 0.02°C ต่อปี และอัตราการเพิ่มขึ้นของอุณหภูมิเฉลี่ยของประเทศไทยอยู่ที่ประมาณ $+0.02^{\circ}\text{C}$ ต่อปี ส่วนอุณหภูมิสูงสุดและอุณหภูมิสูงสุดของประเทศไทยมีอัตราการเพิ่มขึ้นประมาณ $+0.03^{\circ}\text{C}$ ต่อปี การกระจายตัวของอัตราการเปลี่ยนแปลงของอุณหภูมิ แสดงดังรูปที่ 5-7 ถึง 5-9 ส่วนข้อมูลของลุ่มน้ำทั้งหมดสามารถดูรายละเอียดได้ในฐานข้อมูล CUCCH (CU-Climate Change Hydrology) Version 1.0 เนื่องจากข้อมูลที่แสดงเป็นเพียงตัวอย่างที่เลือกมาเพียง 6 ลุ่มน้ำเท่านั้น



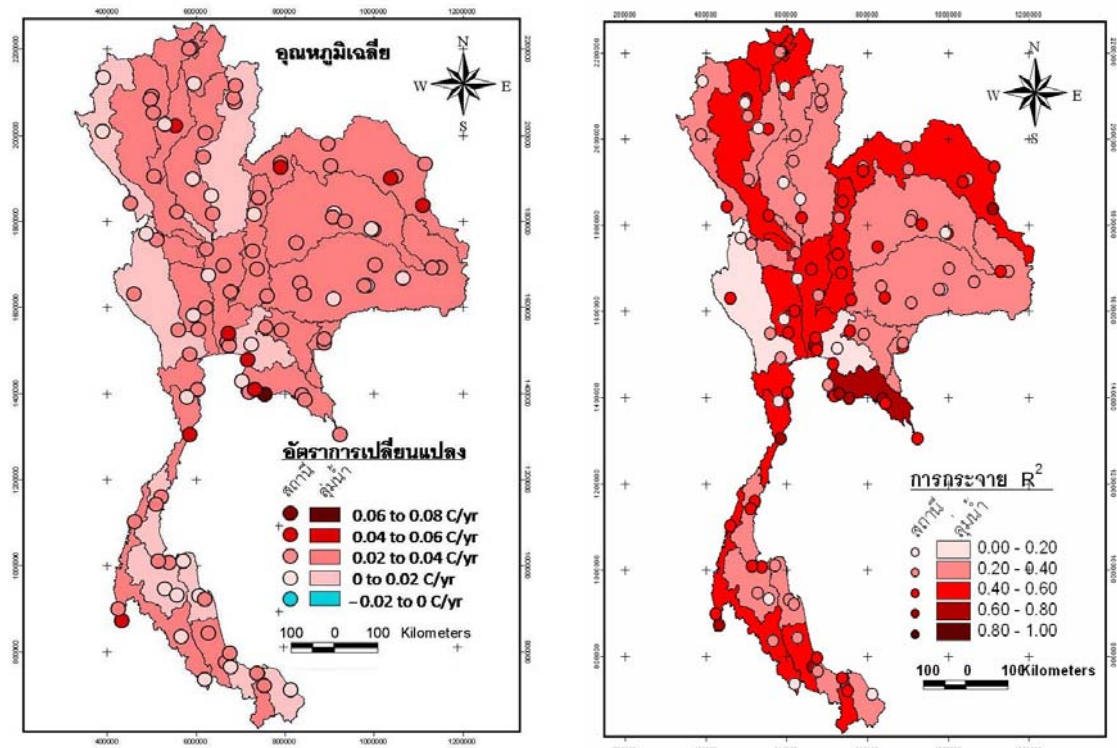
รูปที่ 5-4 แนวโน้มการเปลี่ยนแปลงของอุณหภูมิเฉลี่ยรายปีของประเทศไทยที่สูงขึ้น โดยมีค่าเฉลี่ยของประเทศไทย (ในกรอบ) ประมาณ 0.02°C ต่อปี



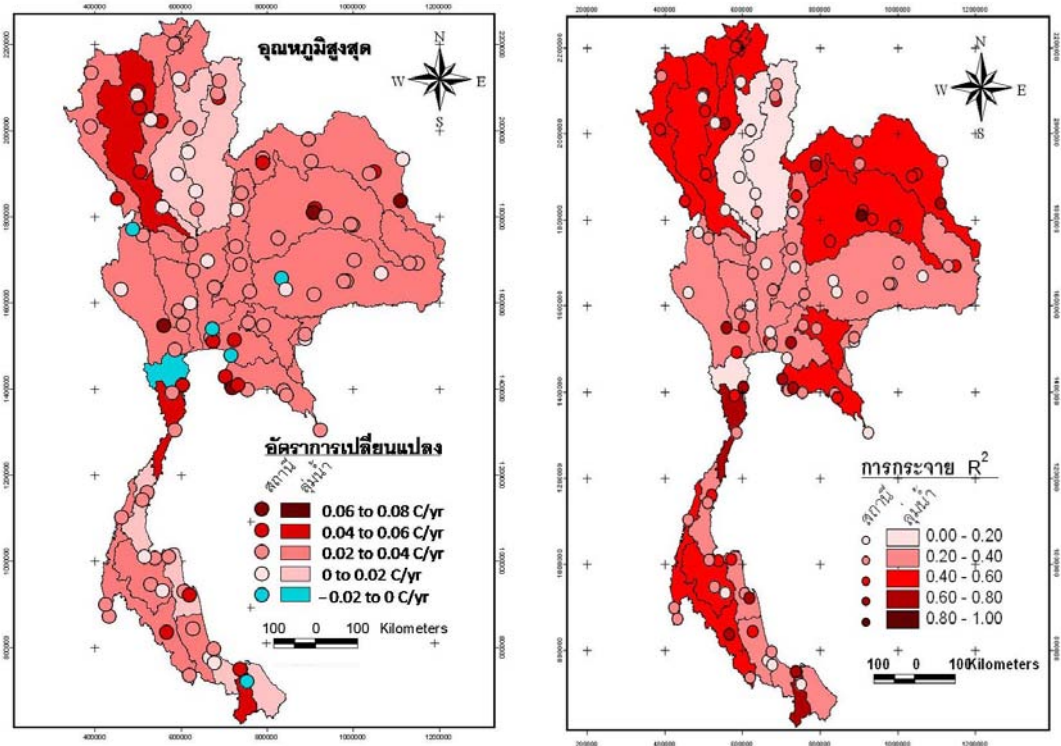
รูปที่ 5-5 แนวโน้มการเปลี่ยนแปลงของอุณหภูมิสูงสุดเฉลี่ยรายปีของประเทศไทยที่สูงขึ้น โดยมีค่าเฉลี่ยของประเทศไทย (ในกรอบ) ประมาณ 0.03°C ต่อปี



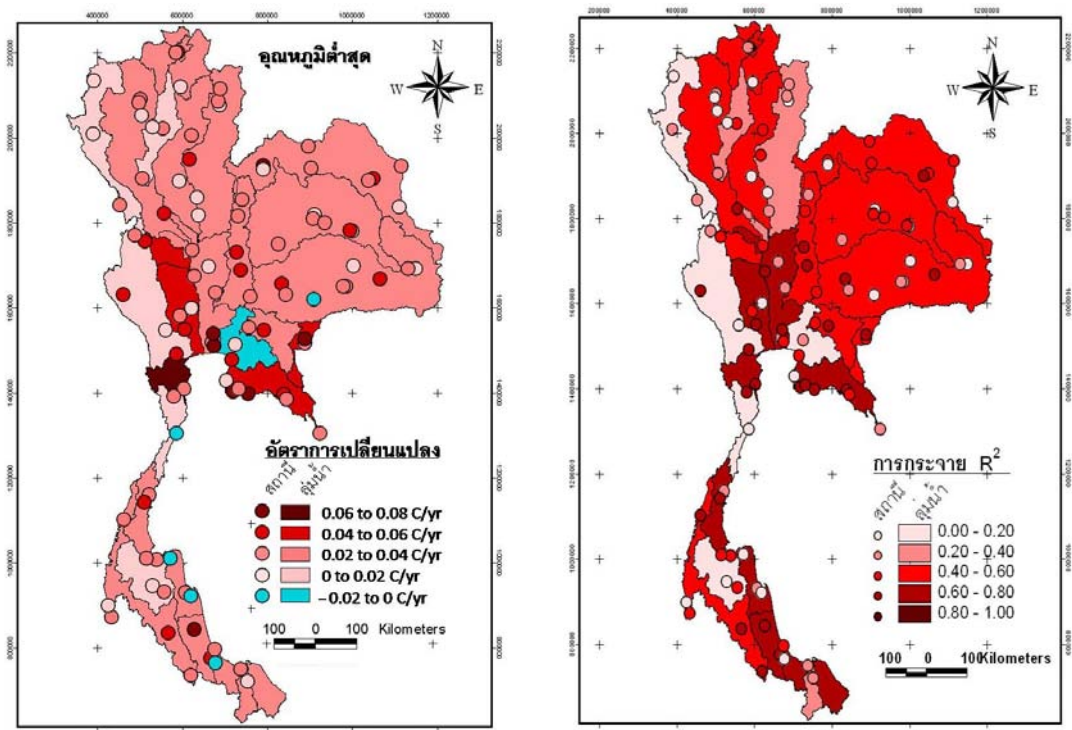
รูปที่ 5-6 แนวโน้มการเปลี่ยนแปลงของอุณหภูมิต่ำสุดเฉลี่ยรายปีของประเทศไทยที่สูงขึ้น โดยมีค่าเฉลี่ยของประเทศไทย (ในกรอบ) ประมาณ 0.03°C ต่อปี



รูปที่ 5-7 อัตราการเปลี่ยนแปลงและการกระจายตัวของข้อมูลอุณหภูมิเฉลี่ยรายปี จากข้อมูลณสถานีตรวจวัด และค่าเฉลี่ยในแต่ละลุ่มน้ำของไทย (0.4-1.0 กระจายน้อย 0.2-0.4 กระจายปานกลาง และ 0-0.2 กระจายมาก)



รูปที่ 5-8 อัตราการเปลี่ยนแปลงและการกระจายตัวของข้อมูลอุณหภูมิสูงสุดรายปี จากข้อมูล ณ สถานีตรวจวัด และค่าเฉลี่ยในแต่ละลุ่มน้ำของไทย (0.4-1.0 กระจายน้อย 0.2-0.4 กระจายปานกลาง และ 0-0.2 กระจายมาก)



รูปที่ 5-9 อัตราการเปลี่ยนแปลงและการกระจายตัวของข้อมูลอุณหภูมิต่ำสุดรายปี จากข้อมูล ณ สถานีตรวจวัด และค่าเฉลี่ยในแต่ละลุ่มน้ำของไทย (0.4-1.0 กระจายน้อย 0.2-0.4 กระจายปานกลาง และ 0-0.2 กระจายมาก)

การวิเคราะห์แนวโน้มการเปลี่ยนแปลงของอุณหภูมิรายปี ทำได้โดยการวิเคราะห์สมการสหสัมพันธ์ของค่าเฉลี่ยรายปี และดูแนวโน้มการเพิ่มขึ้นหรือลดลงของตัวแปรเหล่านั้น พร้อมไปกับการวิเคราะห์หาความสอดคล้องของข้อมูลกับแนวโน้มการประมาณ ซึ่งหาได้จากค่า R^2 ของสมการการถดถอยเชิงเส้น (Coefficient of Determination) ค่า R^2 ที่ได้นี้จะแสดงร้อยละของข้อมูลที่สมการความถดถอยเชิงเส้นตรง สามารถแสดงได้ โดยค่า R^2 ที่ใกล้เคียง 1 แปลงว่าข้อมูลมีการกระจายออกจากสมการเส้นตรงเพียงเล็กน้อย ทำให้ค่าแนวโน้มการเปลี่ยนแปลงที่ได้จากสมการมีความน่าเชื่อถือมากในทางตรงกันข้าม ค่า R^2 ที่เข้าใกล้ 0 หมายความว่าข้อมูลมีการกระจายมากเกินกว่าที่จะแสดงได้ด้วยสมการเส้นตรง ทำให้ค่าแนวโน้มการเปลี่ยนแปลงที่คำนวณได้ไม่น่าเชื่อถือ

เมื่อพิจารณาจากแผนภาพการกระจายตัวของอุณหภูมิ พบร่วมกันของอุณหภูมิสูงสุดมีความน่าเชื่อถือของข้อมูลมากที่สุด เมื่อพิจารณาจากค่าสหสัมพันธ์ (R^2) โดยครอบคลุมเกือบทุกพื้นที่ของประเทศไทย

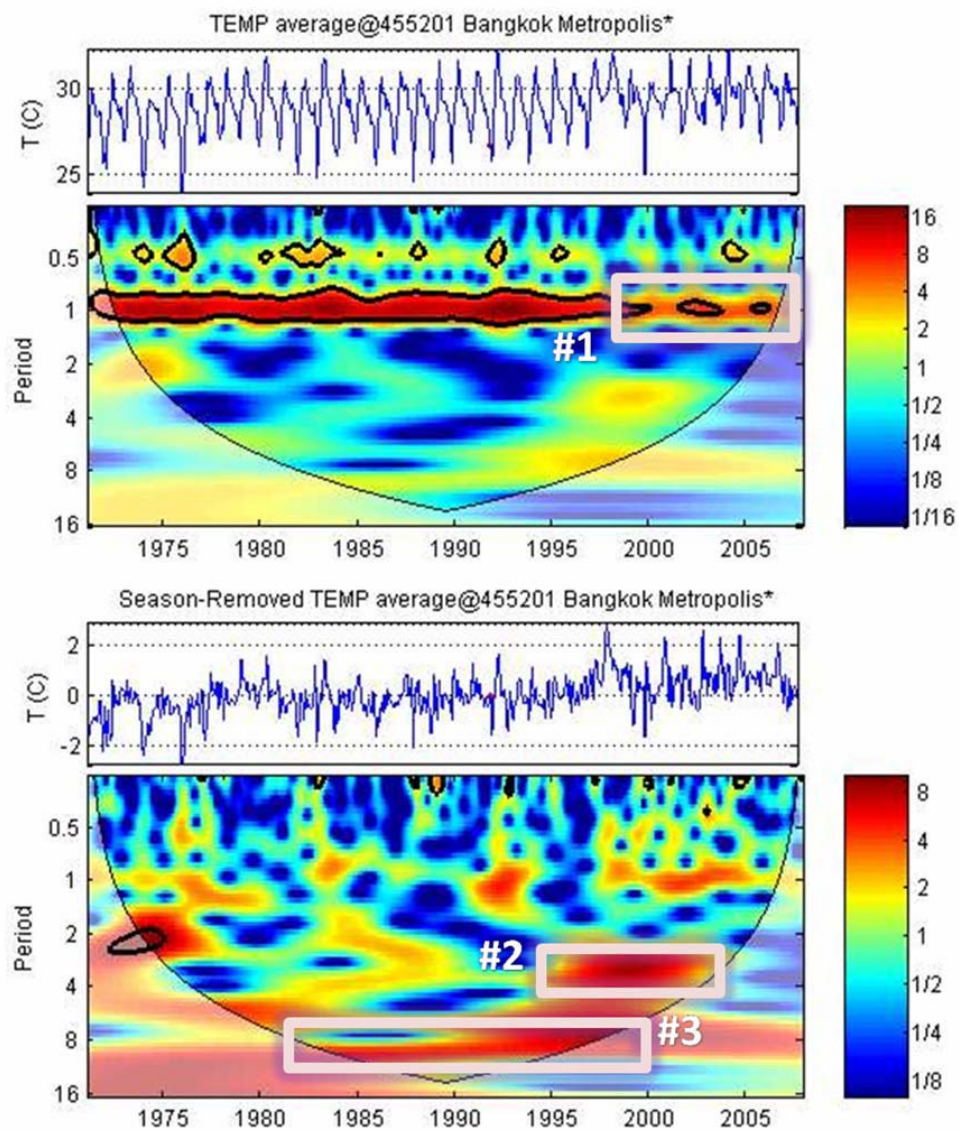
5.3.2 พฤติกรรมด้านความการเกิดขึ้นของสภาพภูมิอากาศในประเทศไทย

ในการศึกษาพฤติกรรมด้านความการเกิดขึ้นของสภาพภูมิอากาศ จะพิจารณาจากแอนพลิจูดของเวฟเล็ตที่แปลงมาจากข้อมูลอุณหภูมิเฉลี่ย สูงสุดและต่ำสุดรายเดือน และจากข้อมูลที่หักค่าเฉลี่ยรายฤดูที่ควบคุมการเกิดขึ้น 1 ปีออกแล้ว (Season-Removed Data) โดยนำข้อมูลดังกล่าวของแต่ละสถานี และแต่ละฤดูน้ำมาสร้างเส้นชั้นความสูง จากการศึกษาพบว่ากำลังของเวฟเล็ตที่ได้จากอุณหภูมิเฉลี่ย สูงสุดและต่ำสุด โดยส่วนใหญ่มีลักษณะที่คล้ายคลึงกัน 3 รูปแบบ ดังที่แสดงในรูปที่ 5-10 และแสดงภาพรวมของทั้งประเทศไทยซึ่งมีลักษณะที่คล้ายคลึงกัน 3 รูปแบบเช่นกัน ดังรูปที่ 5-11 กล่าวคือ

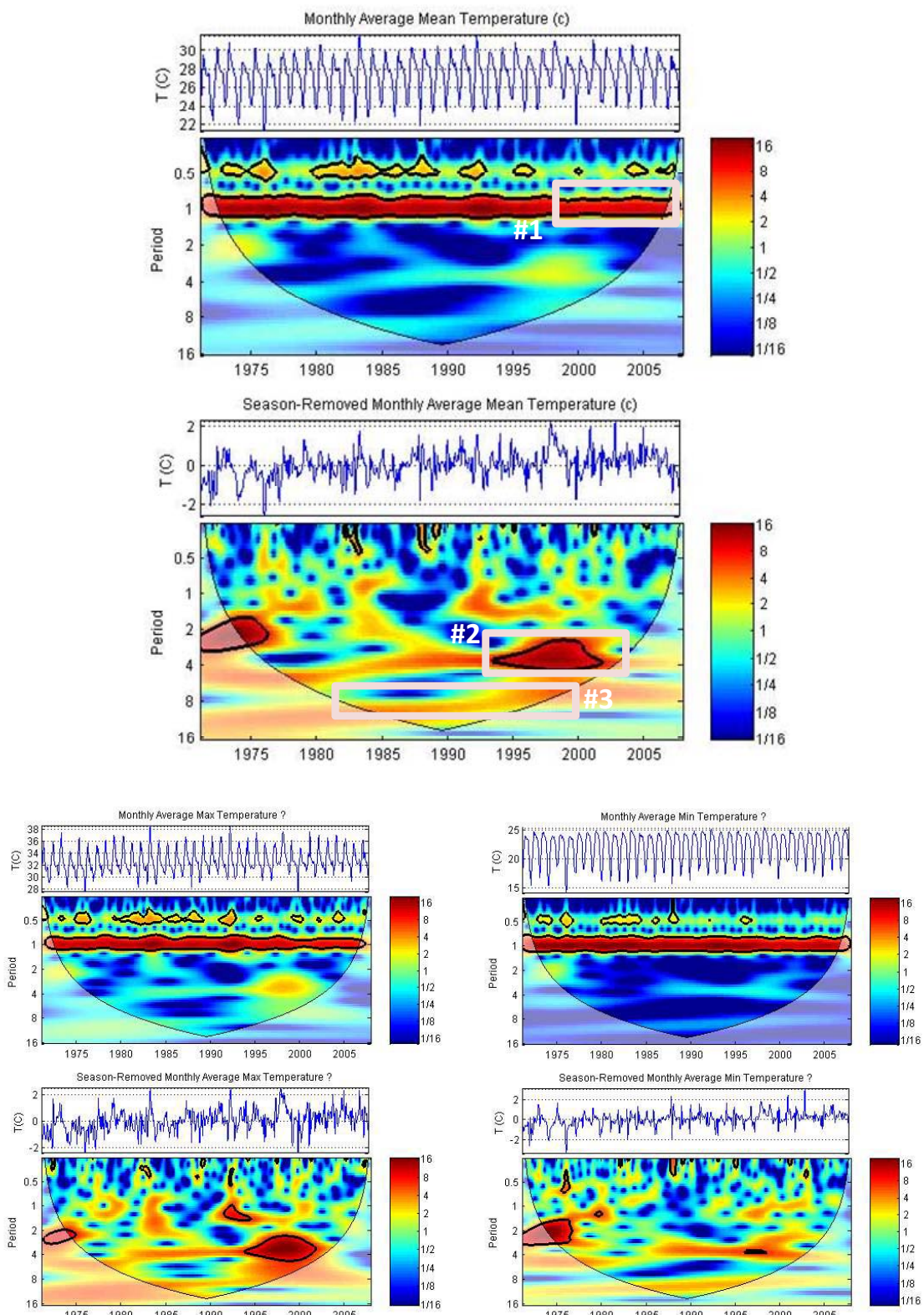
- 1) พฤติกรรมแบบที่ 1: ความการเกิดขึ้นที่ 1 ปีของอุณหภูมิหลังปี ค.ศ. 1995 มีความสำคัญลดลง ซึ่งแปลงว่าฤดูกาลของช่วงเวลาในปัจจุบัน จะไม่เหมือนเดิม หน้าร้อนอาจจะไม่ร้อน หน้าหนาวอาจจะไม่หนาวเหมือนที่เคยเป็นมาในอดีต
- 2) พฤติกรรมแบบที่ 2: พบความการเกิดขึ้นที่ประมาณ 4 ปีในช่วงปี ค.ศ. 1995 – 2000 ที่มีความสำคัญในข้อมูลที่หักค่าเฉลี่ยรายเดือนแล้ว ซึ่งลักษณะดังกล่าวไม่พบในช่วงเวลา ก่อนหน้านี้ และอาจแสดงถึงความรุนแรงของสภาพอากาศ (impulse) ณ ช่วงเวลาดังกล่าว

3) พฤติกรรมแบบที่ 3: พบคาบการเกิดข้าที่ประมาณ 8 ปี จากข้อมูลที่หักค่าเฉลี่ยรายเดือนออกแล้ว และเนื่องจากความคลาดเคลื่อนของค่าข้อมูลนี้จึงเน้นเฉพาะในช่วงปี ค.ศ. 1980 – 2000 ซึ่งอยู่ใน Cone of Influence เท่านั้น

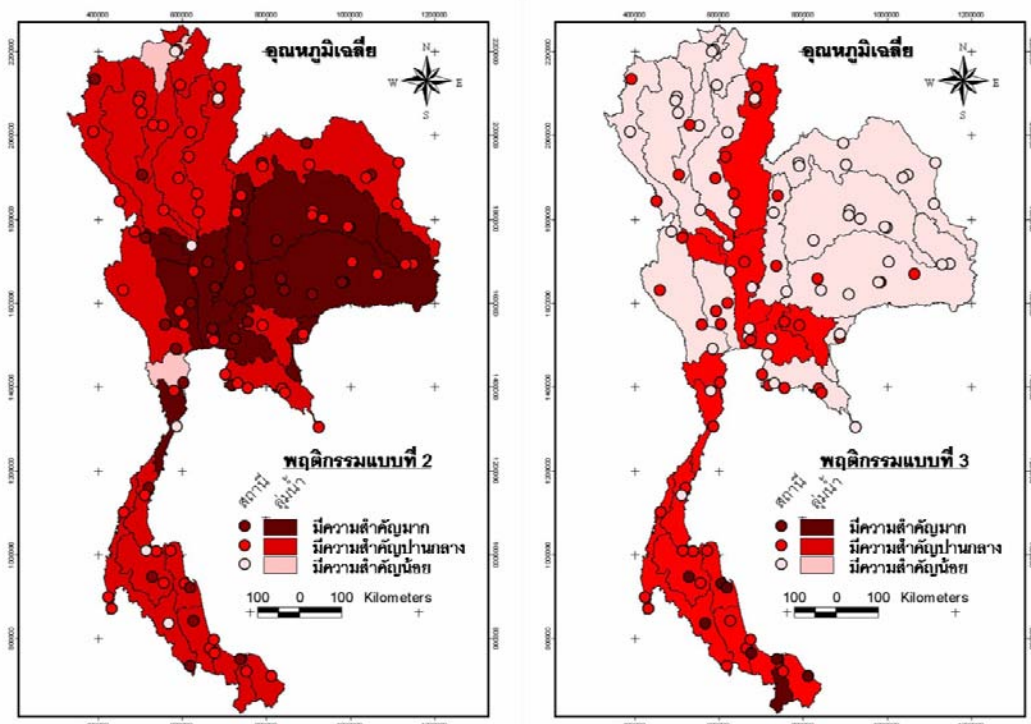
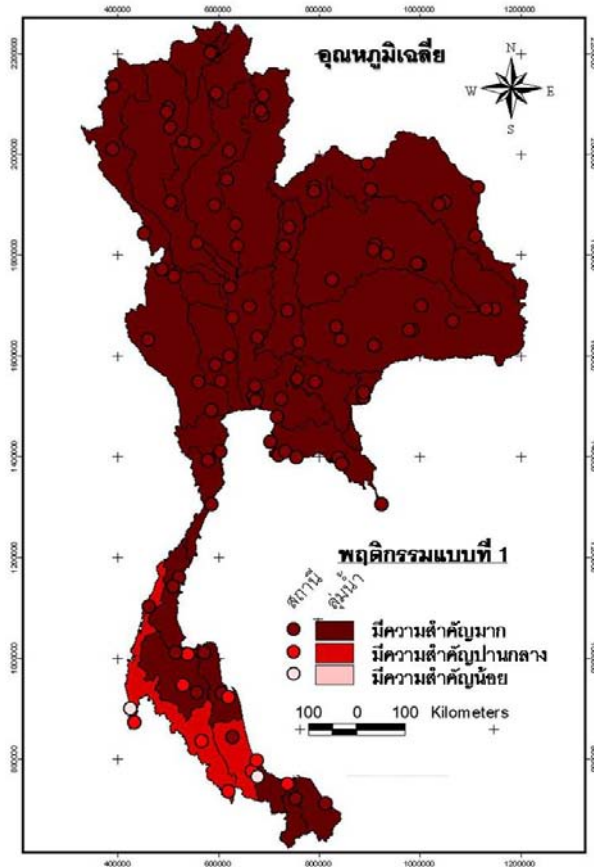
รูปที่ 5-12 ถึง 5-14 แสดงการกระจายของพฤติกรรมแบบที่ 1 ถึง 3 ที่ได้จากข้อมูลอุณหภูมิเฉลี่ย อุณหภูมิสูงสุด และอุณหภูมิต่ำสุด ณ ตำแหน่งสถานีตรวจวัดและค่าเฉลี่ยเชิงพื้นที่ โดยสีแดงเข้มแสดงความสำคัญที่มากหรือเกิดพฤติกรรมดังกล่าวอย่างเห็นได้ชัด ในทางตรงกันข้ามสีฟ้าแสดงความสำคัญที่น้อยหรือสามารถสังเกตพฤติกรรมดังกล่าวได้เพียงเล็กน้อยเท่านั้น ในภาพรวมจะเห็นว่า ค่าที่ได้จากสถานีตรวจวัดในบางพื้นที่ มีลักษณะที่ไม่ตรงกับค่าเฉลี่ยรายลุ่มน้ำ ทั้งๆที่ข้อมูลทั้งสองนี้ที่มาเดียวกัน สิ่งที่เกิดขึ้นนี้อาจมีเหตุผลมาจากการผลกราฟจาก การเรลีย์ค่าที่มีความหลากหลายซึ่งอาจทำให้พฤติกรรมบางอย่างที่เป็นพฤติกรรมเฉพาะ หรือพฤติกรรมที่เกี่ยวข้องกับข้อมูลที่มีความรุนแรง (Extreme Value Data) หายไปได้ ลักษณะที่เกิดขึ้นนี้เป็นสิ่งที่ควรระวัง โดยเฉพาะอย่างยิ่งใน การแปลงข้อมูลระหว่างจุดตรวจวัด และข้อมูลเชิงพื้นที่ ที่อาจมีพฤติกรรมไม่เหมือนเดิม



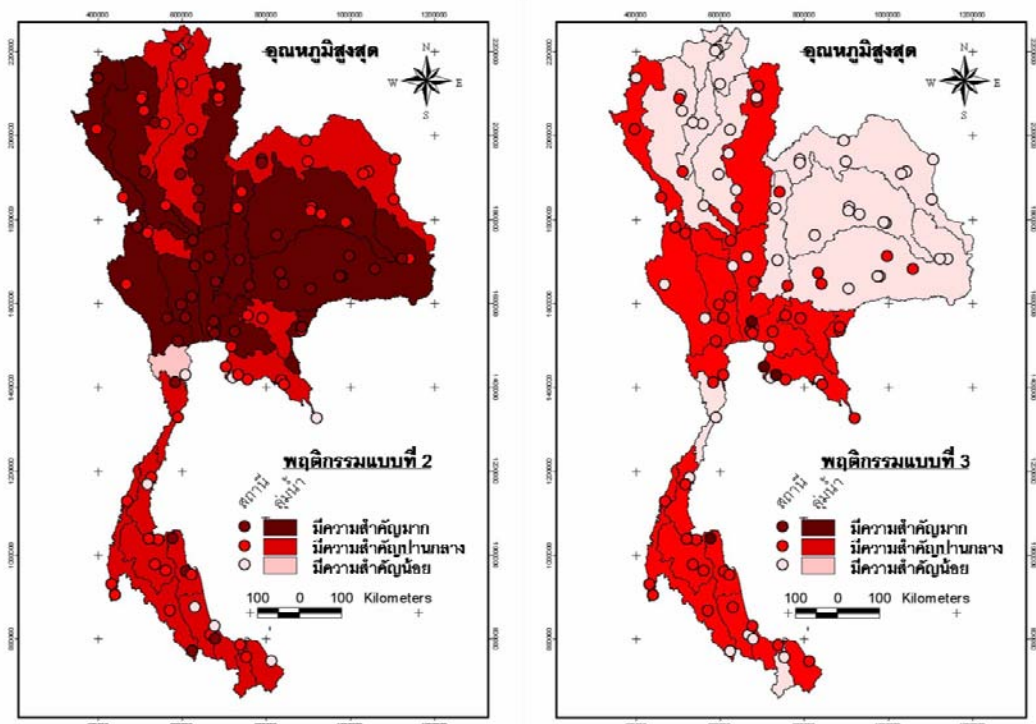
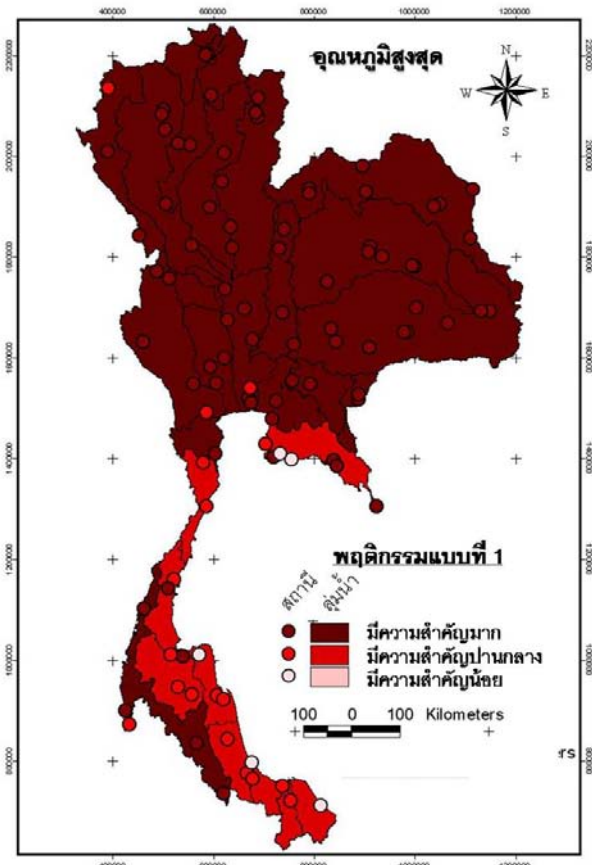
รูปที่ 5-10 พฤติกรรมการเกิดขึ้นของอุณหภูมิเฉลี่ยที่ได้จากการวิเคราะห์ข้อมูลด้วยการแปลงเวฟเล็ต โดยมีรูปแบบ 3 ลักษณะที่ใกล้เคียงกันในหลายพื้นที่ของประเทศไทย



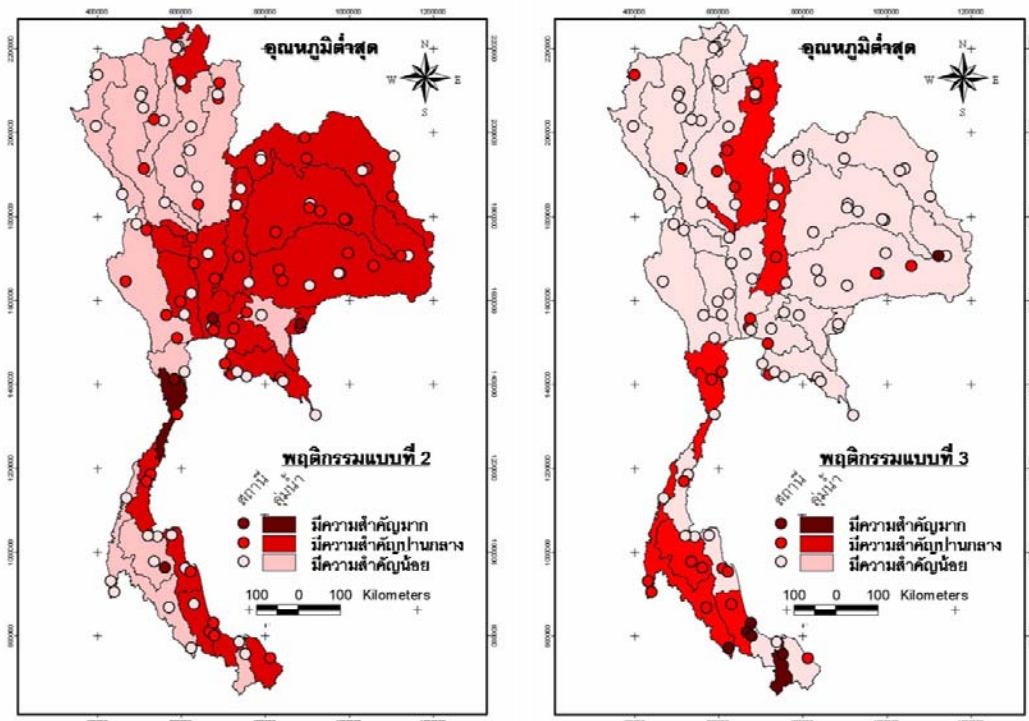
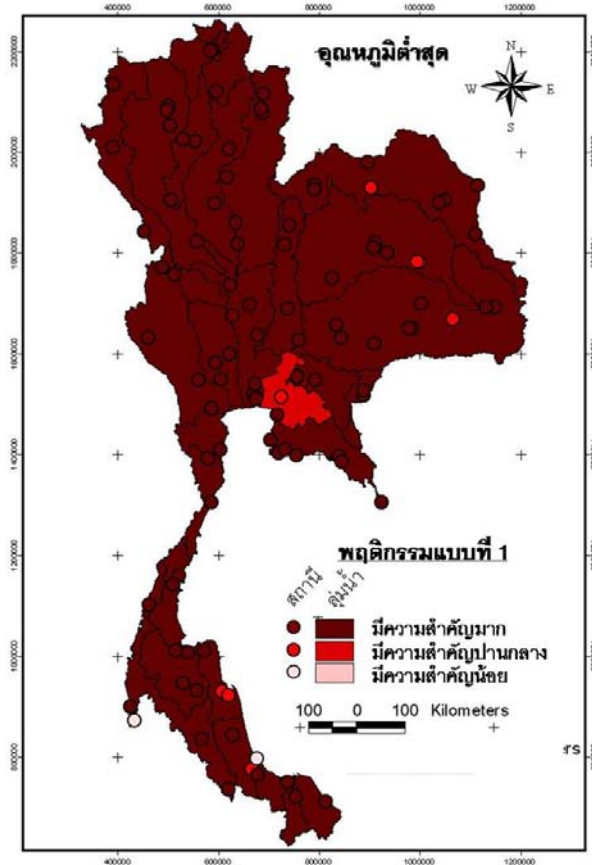
รูปที่ 5-11 พฤติกรรมการเกิดขึ้นของ อุณหภูมิเฉลี่ย (ภาพบน) อุณหภูมิสูงสุด (ล่างซ้าย) และ อุณหภูมิต่ำสุด (ล่างขวา) ของประเทศไทยที่ได้จากการวิเคราะห์ข้อมูลด้วยการแปลงเวฟเลต โดยมีรูปแบบ 3 ลักษณะที่ใกล้เคียงกันในหลายพื้นที่ของประเทศไทย



รูปที่ 5-12 การกระจายตัวของพุติกรรมแบบที่ 1 (บ) พุติกรรมแบบที่ 2 (ล่างซ้าย) และพุติกรรมแบบที่ 3 (ล่างขวา) จากข้อมูลอุณหภูมิเฉลี่ย ณ สถานีตรวจวัดแสดงด้วยจุด และค่าเฉลี่ยในแต่ละลุ่มน้ำของไทย



รูปที่ 5-13 การกระจายตัวของพุทธิกรรมแบบที่ 1 (บน) พุทธิกรรมแบบที่ 2 (ล่างซ้าย) และพุทธิกรรมแบบที่ 3 (ล่างขวา) จากข้อมูลอุณหภูมิสูงสุด ณ สถานีตรวจวัดแสดงด้วยจุด และค่าเฉลี่ยในแต่ละลุ่มน้ำของไทย



รูปที่ 5-14 การกระจายตัวของพุติกรรมแบบที่ 1 (บ) พุติกรรมแบบที่ 2 (ล่างซ้าย) และพุติกรรมแบบที่ 3 (ล่างขวา) จากข้อมูลอุณหภูมิตามสุด ณ สถานีตรวจวัดแสดงด้วยจุด และค่าเฉลี่ยในแต่ละลุ่มน้ำของไทย

เมื่อพิจารณากราฟที่ 5-12 ถึง 5-14 ซึ่งแสดงการกระจายเชิงพื้นที่ของอุณหภูมิเฉลี่ย อุณหภูมิสูงสุด และอุณหภูมิต่ำสุด พบร่วมกับพื้นที่ 1 หรือความชัดเจนของถดถอยที่ค้าการเกิดขึ้น 1 ปี ในช่วงทศวรรษที่ผ่านมา (ปี ค.ศ. 1995 – 2005) ลดลงเมื่อเปรียบเทียบกับในอดีต (ก่อนปี ค.ศ. 1995) โดยพื้นที่ที่มีสีแดงเข้มแสดงว่าความชัดเจนของถดถอยในปัจจุบันได้ลดลงมาก ผลกระทบศึกษาสามารถสรุปได้ว่าพื้นที่โดยส่วนใหญ่ของประเทศไทยมีความชัดเจนของถดถอยในปัจจุบันลดลงจากในอดีต โดยการกระจายตัวจะสม่ำเสมอ ซึ่งแปลว่าการเปลี่ยนแปลงอุณหภูมิเฉลี่ยจะเกิดขึ้นในทุกพื้นที่ โดยมีความรุนแรงค่อนข้างมากใกล้เคียงกัน ยกเว้นบริเวณลุ่มน้ำภาคใต้ผังตะวันตก และลุ่มน้ำทะเลสาปสังขลาที่มีความรุนแรงปานกลาง

สำหรับอุณหภูมิสูงสุดความชัดเจนของถดถอยจะลดลงมากในทุกพื้นที่ แต่บริเวณพื้นที่ติดชายฝั่งทะเลอ่าวไทยมีความรุนแรงปานกลาง ลักษณะดังกล่าวอาจส่งผลให้สภาพอากาศโดยรวมในหน้าร้อนมีการเปลี่ยนแปลงไปจากเดิมได้มาก ส่วนพื้นที่ความชัดเจนของถดถอยสำหรับอุณหภูมิต่ำสุดจะลดลงมากในทุกพื้นที่ของประเทศไทย ยกเว้นลุ่มน้ำบางปะกงที่มีความรุนแรงของพื้นที่ติดชายฝั่งทะเลอ่าวไทย

การกระจายเชิงพื้นที่ของพื้นที่ 2 ซึ่งแสดงค่าบการเกิดขึ้นที่ประมาณ 4 ปีที่เกิดขึ้นในช่วงปี ค.ศ. 1995 – 2000 ลักษณะดังกล่าวอาจแสดงได้ว่าการเกิดสภาพอากาศที่รุนแรงในช่วงเวลานี้ ที่ไม่เคยเกิดขึ้นมาก่อนในอดีต จากรูปที่ 5-13 จะเห็นว่าการกระจายของพื้นที่ 2 นี้ยังคงมีค่าค่อนข้างสูงในพื้นที่ส่วนใหญ่ของประเทศไทย โดยเฉพาะอย่างยิ่งในภาคกลางและภาคตะวันออกเฉียงเหนือตอนล่างของประเทศไทย เมื่อพิจารณาอุณหภูมิเฉลี่ย และอุณหภูมิสูงสุด อย่างไรก็ตีพื้นที่พื้นที่ในลักษณะนี้จากอุณหภูมิต่ำสุดกลับไม่ค่อยมีความสำคัญมากนัก

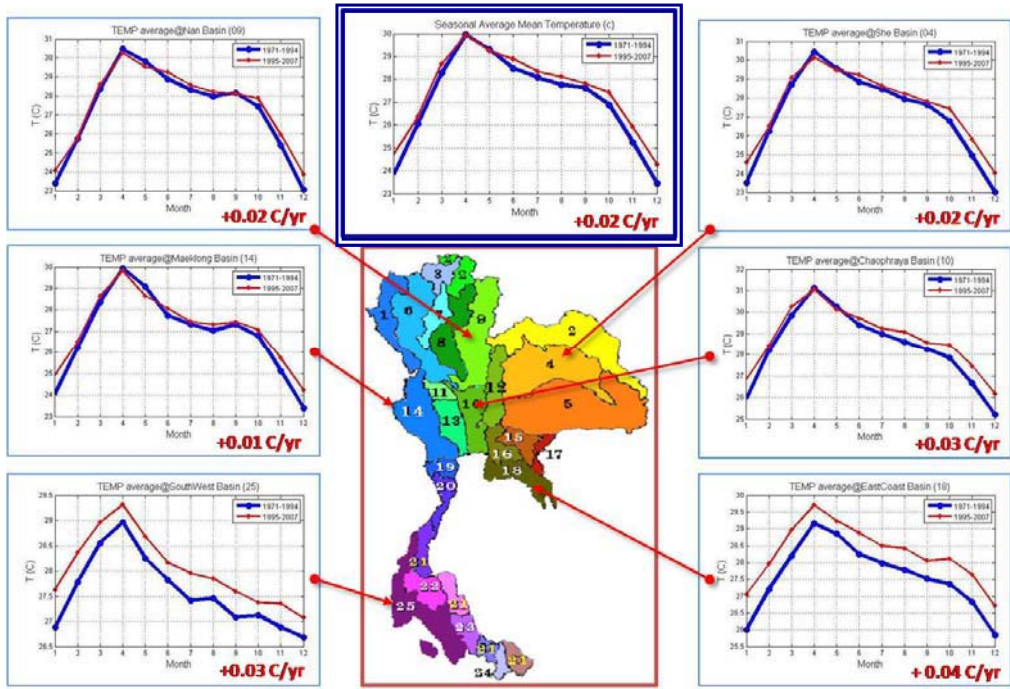
การกระจายตัวเชิงพื้นที่ของพื้นที่ 3 ซึ่งแสดงถึงค่าบการเกิดขึ้นที่ประมาณ 8 ปีที่เกิดขึ้นระหว่างปี ค.ศ. 1980 – 2000 ทั้งนี้ช่วงเวลาของพื้นที่ 3 นี้จะจำกัดโดยค่าขอบเขต (Cone of Influence) ทำให้ไม่สามารถพิจารณาค่าบการเกิดดังกล่าวในเวลาปัจจุบันได้ ซึ่งการกระจายของพื้นที่ 3 นี้มีความสำคัญค่อนข้างน้อยเมื่อเทียบกับพื้นที่ 2 และมักกระจายตัวอยู่ในพื้นที่ภาคกลางและภาคใต้เป็นหลัก พื้นที่ 3 นี้อาจจะมีประโยชน์ในการประมาณอุณหภูมิเนื่องจากเป็นพื้นที่ที่มีค่าบการเกิดคงที่ แต่ไม่สามารถใช้เพื่อตอบค่าบการเกี่ยวกับการเปลี่ยนแปลงของสภาพอากาศของประเทศไทยได้

กล่าวโดยสรุปจะเห็นว่าสภาพภูมิอากาศของประเทศไทย ในแต่ของคaabการเกิดข้าและความรุนแรง ในปัจจุบันมีแนวโน้มที่เปลี่ยนแปลงไปจากอดีต โดยพฤติกรรมที่เห็นได้ชัด ได้แก่ การที่ตดุกาก หรือคaabการเกิดข้าของเหตุการณ์ที่ 1 ปี มีความชัดเจนลดลงมากจากปกติ และการที่คaabการเกิดข้าที่ประมาณ 4 ปีหรือเกิดความแปรปรวนที่รุนแรงในช่วง ค.ศ. 1995 – 2000 จากผลการศึกษาดังกล่าวจะเป็นเหตุให้เชื่อได้ว่าสภาพอากาศของประเทศไทย ที่เกี่ยวข้องกับอุณหภูมิเฉลี่ย อุณหภูมิสูงสุด และอุณหภูมิต่ำสุด เริ่มได้รับผลกระทบจากการเปลี่ยนแปลงสภาพภูมิอากาศของโลกตั้งแต่ปี ค.ศ. 1995 แล้ว

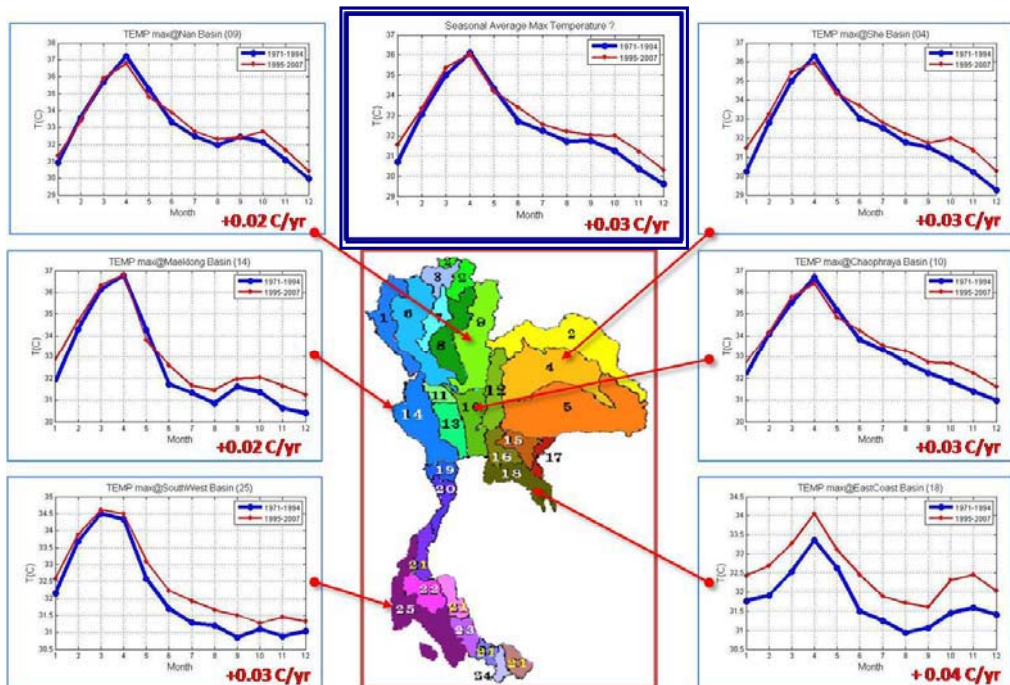
อนึ่ง การคัดเลือกพฤติกรรมรูปแบบต่างๆ และแสดงการกระจายของความสำคัญของพฤติกรรมนั้นๆ ลงบนแผนที่ เป็นเพียงแนวทางหนึ่งในการที่จะรับรวมข้อมูลจากทุกสถานี และทุกกลุ่มน้ำที่มีอยู่เป็นจำนวนมาก ให้เกิดความชัดเจนในการเปรียบเทียบโดยเลือกพฤติกรรมที่มักจะเกิดโดยรวมเท่านั้น หากพิจารณาผลการแปลงเฟฟเล็ตของข้อมูลแต่ละตัว อาจจะพบพฤติกรรมอื่นๆ ที่มีความชัดเจนหรือมีความสำคัญมากกว่านี้ได้ นอกจากนี้ยังมีแนวทางอื่นที่อาจใช้ในการแสดงการกระจายของพฤติกรรม เช่น การคำนวนหาคaabการเกิดที่สำคัญ ณ ช่วงเวลาต่างๆ และวิเคราะห์คaabการเกิดมาแสดงผลเชิงพื้นที่ เป็นต้น ซึ่งน่าจะได้มีการศึกษาในรายละเอียดต่อไป

5.3.3 การเปลี่ยนแปลงของสภาพภูมิอากาศเฉลี่ยรายเดือนและการเปลี่ยนแปลงเชิงตดุกากในประเทศไทย

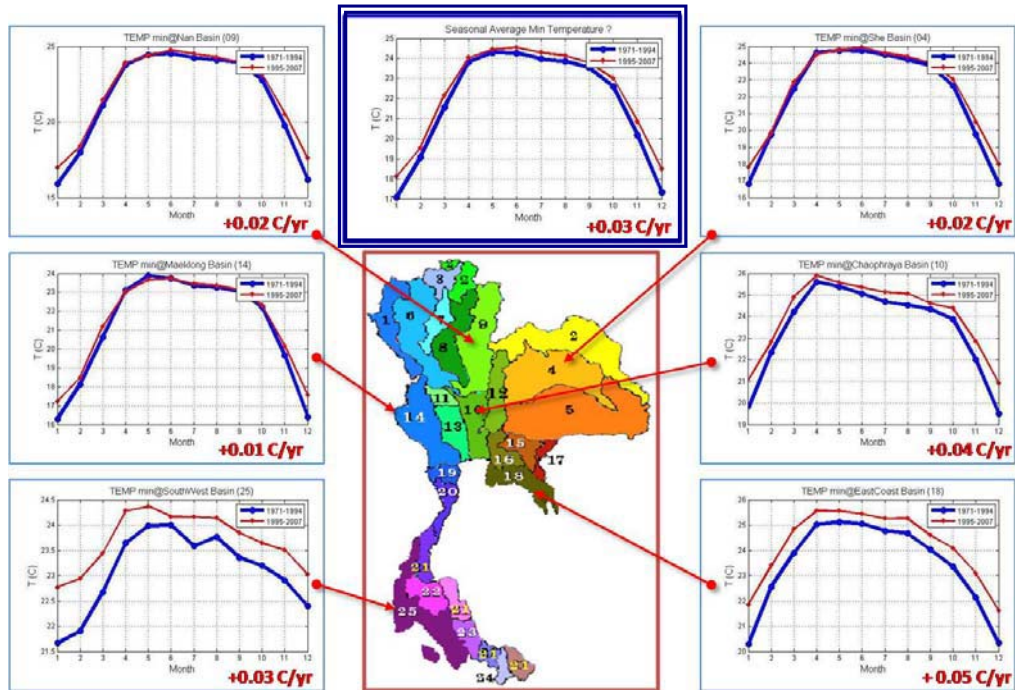
จากการเปรียบเทียบการเปลี่ยนแปลงค่าเฉลี่ยรายเดือนของอุณหภูมิเฉลี่ย สูงสุด และต่ำสุดของประเทศไทย ระหว่างปี ค.ศ. 1971 – 1994 และระหว่างปี ค.ศ. 1995 – 2007 ในช่วงทศวรรษที่ผ่านมาอุณหภูมิเฉลี่ยในทุกเดือนและในทุกพื้นที่ของประเทศไทยมีค่าสูงขึ้น ดังรูปที่ 5-15 ถึง 5-17 ซึ่งแสดงคล้องกับแนวโน้มการเปลี่ยนแปลงอุณหภูมิรายปีที่ได้กล่าวไปแล้ว และพบว่ามีรูปแบบการเปลี่ยนแปลง 2 รูปแบบที่ชัดเจน แบบแรกอุณหภูมิสูงในช่วงตดุกฝนและตดุหน้าฝน แบบที่สองสูงทั้งปี โดยในภาคเหนือมักจะเพิ่มขึ้นในตดุฝนและตดุหน้าฝน ผันตดุร้อนโดยเฉพาะเดือนเมษายนนั้น อุณหภูมิเฉลี่ยในปัจจุบันไม่ได้สูงขึ้นมากนัก ผิดกับพื้นที่ในภาคตะวันออกและทางภาคใต้ที่การเพิ่มขึ้นของอุณหภูมิจะเกิดขึ้นในทุกเดือนตลอดทั้งปี แสดงดังรูปที่ 5-18 ถึง 5-20



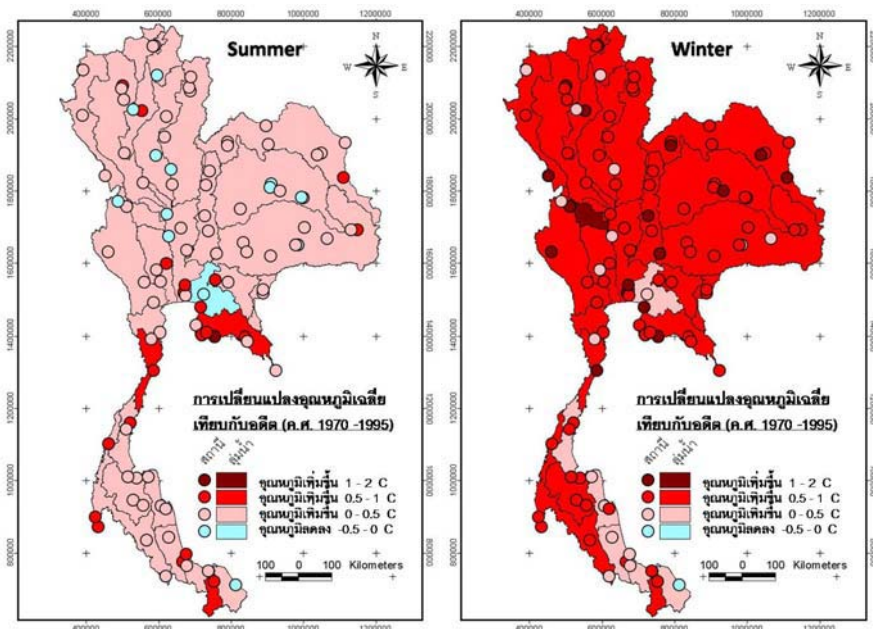
รูปที่ 5-15 ลักษณะการเปลี่ยนแปลงรายเดือนของอุณหภูมิเฉลี่ยก่อนปี ค.ศ. 1995 และอุณหภูมิเฉลี่ยหลังปี ค.ศ. 1995 ในลุ่มน้ำตัวอย่างของประเทศไทย โดยรูปในกรอบสีน้ำเงินแสดงค่าเฉลี่ยของประเทศไทย



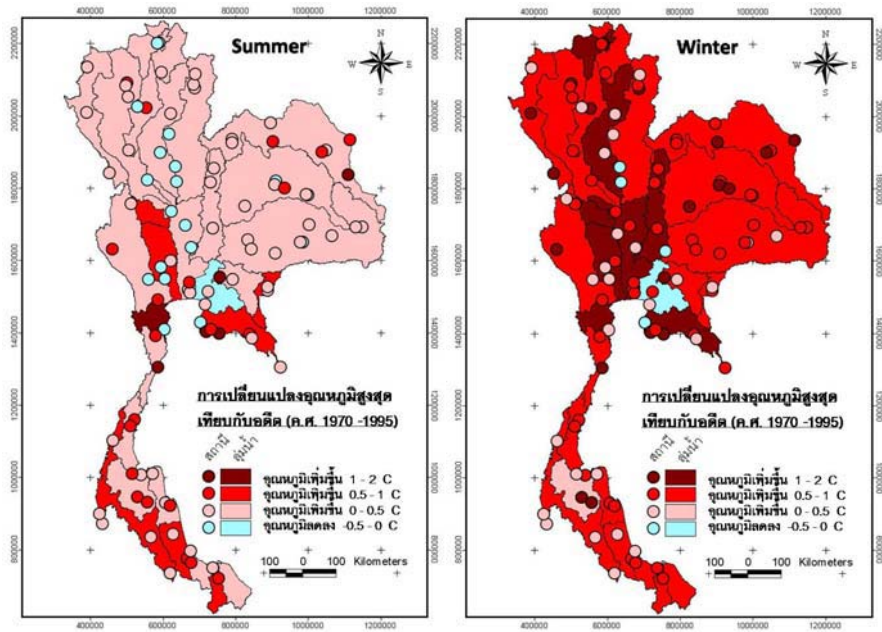
รูปที่ 5-16 ลักษณะการเปลี่ยนแปลงรายเดือนของอุณหภูมิสูงสุดก่อนปี ค.ศ. 1995 และอุณหภูมิสูงสุดหลังปี ค.ศ. 1995 ในลุ่มน้ำตัวอย่างของประเทศไทย โดยรูปในกรอบสีน้ำเงินแสดงค่าเฉลี่ยของประเทศไทย



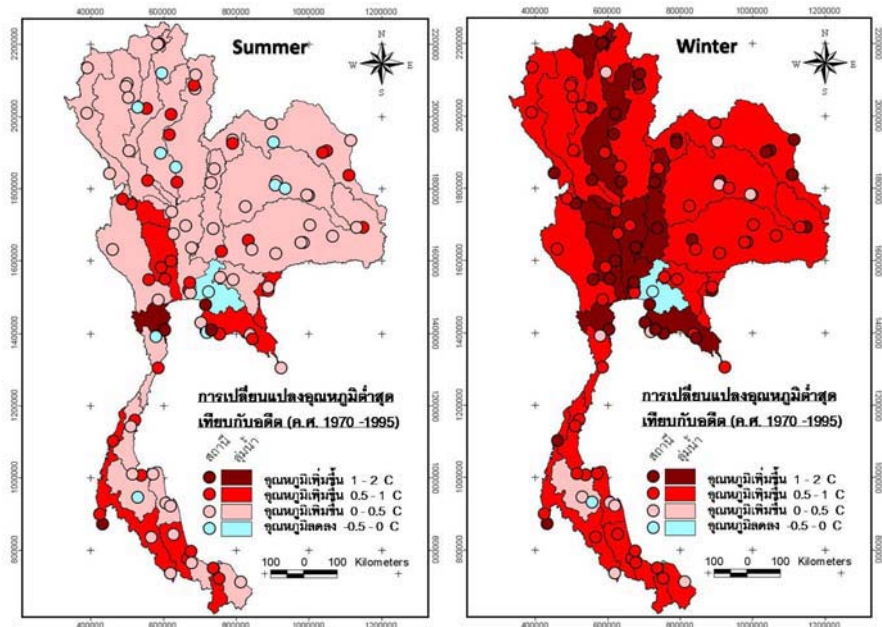
รูปที่ 5-17 ลักษณะการเปลี่ยนแปลงรายเดือนของอุณหภูมิต่ำสุดก่อนปี ค.ศ. 1995 และอุณหภูมิต่ำสุดหลังปี ค.ศ. 1995 ในลุ่มน้ำตัวอย่างของประเทศไทย โดยรูปในกรอบสีน้ำเงินแสดงค่าเฉลี่ยของประเทศไทย



รูปที่ 5-18 ลักษณะของฤดูกาล (ฤดูร้อนและฤดูหนาว) เปรียบเทียบอุณหภูมิเฉลี่ยก่อนปี ค.ศ. 1995 และหลังปี ค.ศ. 1995 ในลุ่มน้ำตัวอย่างของประเทศไทย



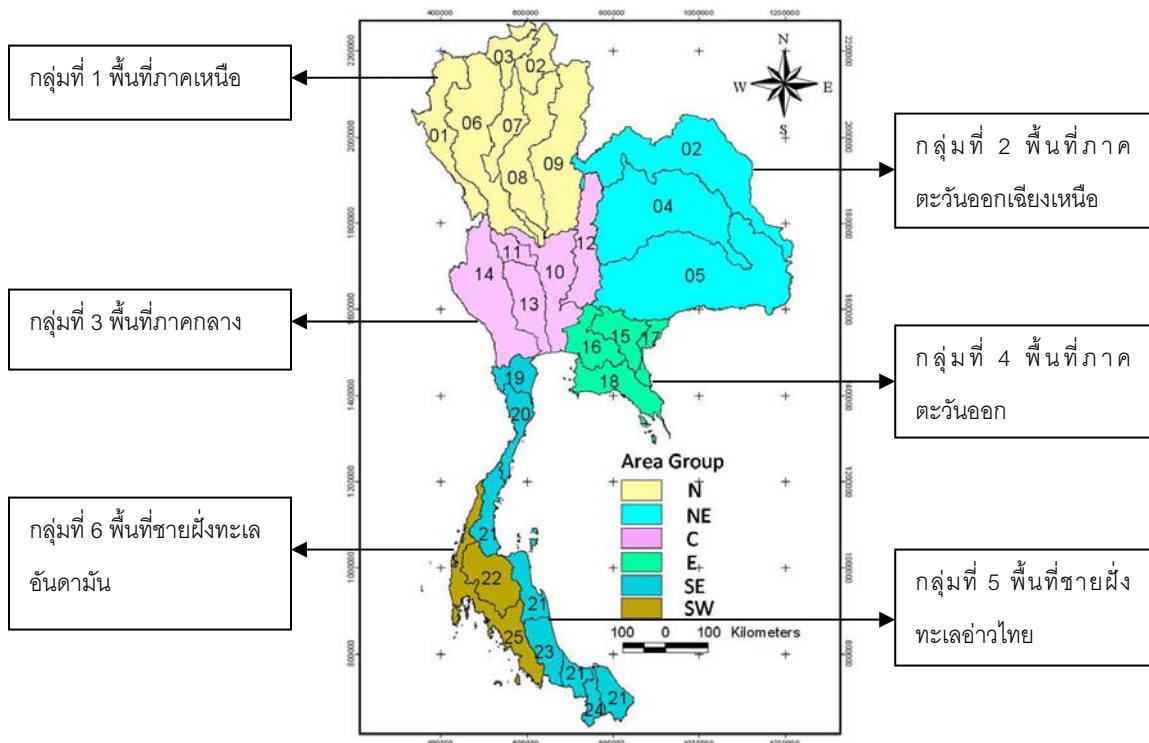
รูปที่ 5-19 ลักษณะของตุ๊กกาล (ตุ๊กร้อนและตุ๊กหนาว) เปรียบเทียบอุณหภูมิสูงสุดก่อนปี ค.ศ. 1995 และหลังปี ค.ศ. 1995 ในลุ่มน้ำตัวอย่างของประเทศไทย



รูปที่ 5-20 ลักษณะของตุ๊กกาล (ตุ๊กร้อนและตุ๊กหนาว) เปรียบเทียบอุณหภูมิต่ำสุดก่อนปี ค.ศ. 1995 และหลังปี ค.ศ. 1995 ในลุ่มน้ำตัวอย่างของประเทศไทย

5.3.4 สรุปลักษณะพฤติกรรมของอุณหภูมิเฉลี่ยแบ่งตามลักษณะกลุ่มพื้นที่

จากการศึกษาแนวโน้มการเปลี่ยนแปลง ลักษณะการเปลี่ยนแปลงรายเดือน และพฤติกรรมการเกิดช้าของอุณหภูมิดังหัวข้อที่กล่าวมาแล้วข้างต้น ได้จัดกลุ่มพื้นที่ของประเทศไทยตามลักษณะพื้นที่และความคล้ายคลึงของข้อมูลอุณหภูมิเป็น 6 กลุ่ม ได้แก่ กลุ่มพื้นที่ภาคเหนือ กลุ่มพื้นที่ภาคตะวันออกเฉียงเหนือ กลุ่มพื้นที่ภาคกลาง กลุ่มพื้นที่ภาคตะวันออก กลุ่มพื้นที่ชายฝั่งทะเลฝั่งอ่าวไทย และกลุ่มพื้นที่ชายฝั่งทะเลฝั่งอันดามัน แสดงดังรูปที่ 5-21



รูปที่ 5-21 การแบ่งกลุ่มพื้นที่ของประเทศไทยตามลักษณะกลุ่มพื้นที่ที่มีความคล้ายคลึงกันของข้อมูล

รูปดังกล่าวได้แสดงแนวโน้มการเปลี่ยนแปลงลักษณะการเปลี่ยนแปลงรายเดือน และพฤติกรรมของอุณหภูมิที่แสดงความชัดเจนของถูกากลที่คabaการเกิดช้าที่ 1 ปีในช่วงปีจุบัน (ปี ค.ศ. 1995-2005) ลดลงเมื่อเปรียบเทียบกับอดีต (ก่อนปี ค.ศ. 1995) โดยแสดงในรูปของสัญลักษณ์ เพื่อให้เห็นถึงการเปลี่ยนแปลงได้ชัดเจนมากขึ้น แสดงดังตารางที่ 5-1 โดยพบว่าแนวโน้มอุณหภูมิสูงขึ้นในทุกกลุ่มพื้นที่ แต่มีการกระจายอยู่ในระดับปานกลาง ลักษณะการเปลี่ยนแปลงเฉลี่ยรายเดือนของอุณหภูมิเฉลี่ย อุณหภูมิสูงสุด และอุณหภูมิต่ำสุดพบว่าโดยส่วนใหญ่ทุกแนวโน้มอุณหภูมิจะเพิ่มขึ้นจาก